

وزارة التعليم والبحث العلمي  
MINISTÈRE DE L'ENSEIGNEMENT ET DE LA RECHERCHE SCIENTIFIQUE

3ex

## ECOLE NATIONALE POLYTECHNIQUE



DEPARTEMENT : Electrotechnique

## PROJET DE FIN D'ETUDES

SUJET

*Etude des régimes transitoires  
d'un moteur asynchrone à rotor  
bobiné*

Proposé par :

M. KOURGLI

Etudié par :

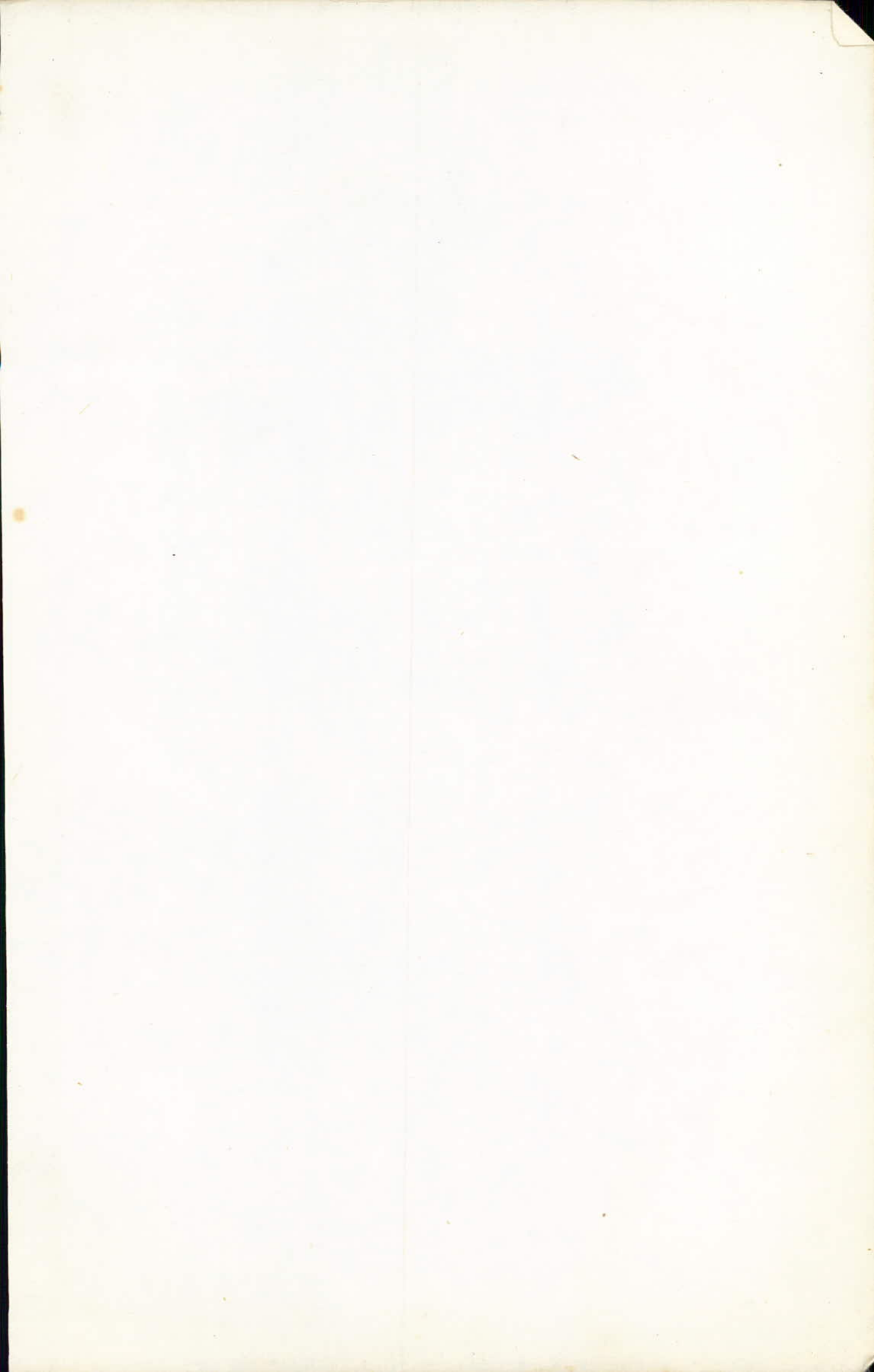
CHARIKH A.  
BEKKA H.

Dirigé par :

M. KOURGLI



PROMOTION : Juin 1984



الجمهورية الجزائرية الديمقراطية الشعبية  
REPUBLIQUE ALGERIENNE DEMOCRATIQUE ET POPULAIRE

وزارة التعليم والبحث العلمي

Ministère de l'Enseignement et de la Recherche Scientifique

ECOLE NATIONALE POLYTECHNIQUE

المدرسة الوطنية المتعددة التقنيات  
BIBLIOTHEQUE —  
Ecole Nationale Polytechnique

Département : Electrotechnique

## PROJET DE FIN D'ETUDES

### SUJET

*Etude des régimes transitoires  
d'un moteur asynchrone à rotor  
bobiné*

Proposé par :

M. KOURGLI

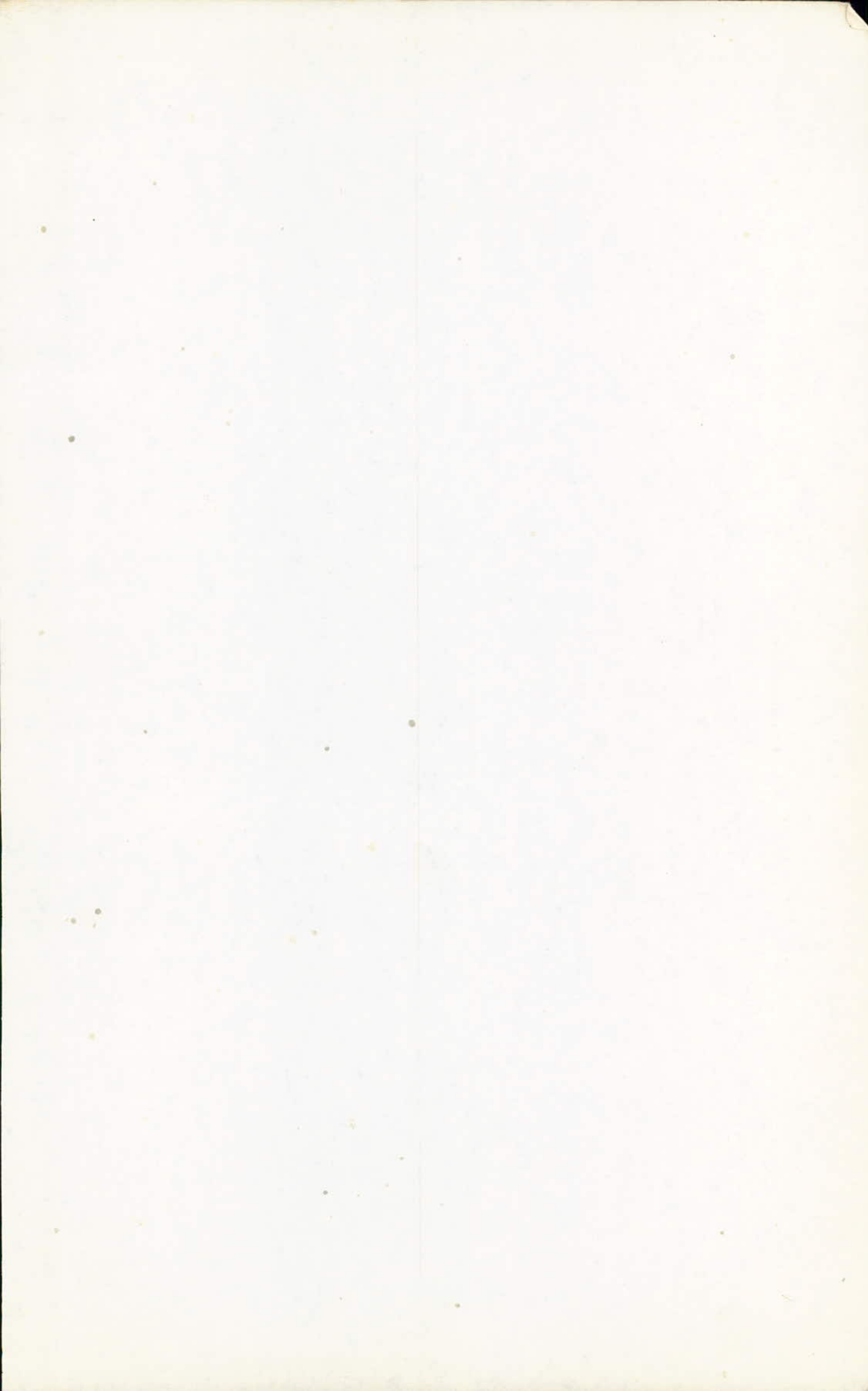
Etudié par :

CHARIKH A.  
BEKKA H.

Dirigé par :

M. KOURGLI

Promotion : Juin 1984



المدرسة الوطنية المتعددة التقنيات  
BIBLIOTHEQUE — المكتبة  
Ecole Nationale Polytechnique

"DEDICACES"

- A mon père
- A ma mère
- A mes frères et soeurs
- A tous ceux qui me sont chers.

Ahmed

- A mon père
- A ma mère
- A mes frères et ma sœur
- A tous mes amis

HAKIM

### Remerciements.

Mous tenons à remercier vivement notre promoteur M. KOURGLI pour ses aides précieuses qu'il nous a apporté durant toute l'étude. Les remerciements vont également à tous ceux qui nous ont aidé de près ou de loin pour mener à terme ce modeste travail. que tous les professeurs qui ont contribué à notre formation trouvent ici le témoignage de toute notre gratitude.

Noms Prénoms : -CHAARIKE Ahmed

-BENKA Hakim

Promoteur : M. KOURGLI

R E S U M E

المدرسة الوطنية المتعددة التقنيات  
المكتبة —  
BIBLIOTHEQUE —  
Ecole Nationale Polytechnique

Ce sujet de fin d'étude consiste à l'étude théorique et pratique de certains régimes transitoires d'une machine asynchrone à rotor Bobine. Cette étude nous amène à déterminer certains paramètres de la machine et à voir l'importance du courant lors de certains régimes de fonctionnement sévères.

#### S U M M A R Y

Our subject help us to understand some transient workings of an induction machine with wounded rotor, theoretically and practically. This study provide us the possibility of finding some parameters of the machine and show us the importance of the current in these cases.

#### ملخص

يهدف هذا المشروع إلى دراسة "النظرية" و"التطبيقية" لبعض الصواعد العابرة للألة غير موقتة ذات محضو انتاج ملحوظ. هذه الدراسة تكمن في إثبات بعض وسطاء الألة و معروفة أهميتها، التيار الكهربائي في بعض الحالات القاسية.

# TABLE DES MATIERES

المدرسة الوطنية المتعددة التقنيات  
BIBLIOTHEQUE — المكتبة  
Ecole Nationale Polytechnique

	page
Introduction	1
Chapitre I : Etude théorique de la M.A Selon les axes $d$ et $q$	2
I-1 Description de la machine asynchrone	2
I-2 Transformation de park	2
I-2-1 Interprétation des composantes de Concordia	2
I-2-2 Interprétation des composantes de park	4
I-3 Mise en équation de la machine asynchrone	5
I-3-1 Hypothèses simplificatrices	5
I-3-2 Conventions de signes	6
I-3-3 Mise en équation	6
I-4 Calcul de puissance et couple	12
I-5 Choix du référentiel	13
Chapitre II : Régimes permanents	15
II-1 Expressions temporelles des tensions factives	15
II-2 Expressions temporelles des flux factifs.	15
II-3 Expressions des courants factifs	16
II-4 Cas particulier ( $q=0$ )	17
II-5 Schéma équivalent	17
II-6 Expression du couple électromagnétique	18
Chapitre III Régimes transitoires	20

III-1 Schéma équivalent	
III-2 Etude des régimes transitoires dans le cas général	20
III-3 Etude des divers régimes transitoires ( $g=0$ )	23
III-3-1 Court-circuit triphasé de l'enroulement statorique	23
III-3-2 ouverture du stator	30
III-3-3 Démarrage	33
IV Analyse expérimental	38
IV-1 Identification de la machine	38
IV-1-1 Mesure des résistances	38
IV-1-2 Mesure des inductances cycliques et le coefficient de dispersion.	38
IV-2 Mise en court-circuit du stator	43
IV-2-1 Montage	43
IV-2-2 Mode opératoire	43
IV-2-3 Détermination du paramètre $\lambda$	43
IV-2-4 Tableaux des résultats	44
IV-2-5 Détermination des paramètres de la machine	44
IV-3 Démarrage	45
IV-3-1 Montage	45
IV-3-2 Mode opératoire	45
IV-3-3 Détermination du paramètre $\lambda$	45
IV-3-4 Tableaux des résultats	46
IV-4 Ouverture du stator	
IV-4-1 Montage	46

IV-4-2	Mode opératoire	46
IV-4-3	Determination du paramètre $\alpha$	46
IV-4-4	Determination de $T_0$	46
	Conclusion	64.

TABLE DES FIGURES.

	page
FIG I-1 Représentation schématique d'une machine asynchrone au stator et au rotor	11
FIG I-2 Représentation schématique d'une machine asynchrone rapportée aux axes $d$ et $q$ .	11
FIG II-1 Schéma équivalent monophasé d'une machine asynchrone en régime permanent.	19
FIG III-1 Situation préalable à la mise en cc d'une machine asynchrone à vide.	31
FIG III-2 Situation préalable au déclenchement d'une machine asynchrone à vide.	31
FIG IV-1 Variation du courant de la phase statorique en fonction du temps lors du court-circuit du stator (théorique et pratique) « essai 1 ».	50
FIG IV-2 Variation du courant de la phase statorique en fonction du temps lors du court-circuit du stator (théorique et pratique) « essai 2 ».	51
FIG IV-3 Variation du couple électromagnétique de la machine lors du court-circuit du stator à vide	53
FIG IV-4 Variation du courant de la phase statorique en fonction du temps lors du démarrage à vide. (théorique et pratique) « essai 1 » sous tension nominale	56
FIG IV-5 Variation du courant de la phase statorique en fonction du temps lors du démarrage à vide. (théorique et pratique) « essai 2 » sous tension réduite	57
FIG IV-6 Variation de la tension de la phase statorique en fonction du temps lors de l'ouverture du stator. (théorique et pratique).	59

## INTRODUCTION

Les phénomènes transitoires apparaissent lors du passage d'un régime établi à un autre régime établi. Ils ont pour origine les variations des tensions des réseaux électriques, des impédances des enroulements ou de la charge ainsi que le couple moteur extérieur appliqué à l'arbre de la machine. La théorie des régimes transitoires permet de prévoir le déroulement des phénomènes transitoires d'exploitation. L'étude des régimes transitoires nous fournit les données nécessaires au réglage des dispositifs de protection.

Afin de réduire les coefficients de la matrice impedance tout en rendant le reste constant nous allons utiliser la transformation de park.

Nous nous intéressons aux régimes transitoires d'un moteur asynchrone fonctionnant à vide et plus essentiellement nous allons élaborer les points suivants

- Mise en court-circuit du stator
- Démarrage
- Ouverture du stator.

# CHAPITRE I

## ETUDE THEORIQUE DE LA MACHINE ASYNCHRONE

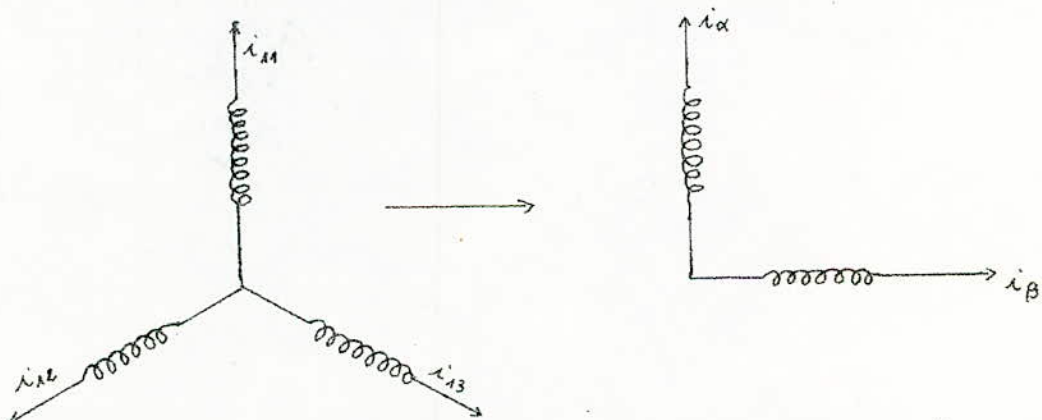
### SELON LES AXES $d$ et $q$

#### I-1 Description de la machine asynchrone

La machine asynchrone dont nous allons étudier la mise en équation est une machine à rotor bobiné. Elle correspond à la structure représentée à la figure(I-1). page 11

Les armatures magnétiques du stator et du rotor sont toutes deux cylindriques donc dont l'entre fer est constant. Chaque armature est munie d'un enroulement triphasé.

#### I-2 Transformation de park.



Le système  $(i_{11}, i_{12}, i_{13})$  se transforme au système  $(i_\alpha, i_\beta)$  par la transformation de concordia.

**I-2-1** L'interprétation des composantes de concordia  
 si  $i_{11}, i_{12}$  et  $i_{13}$  sont les courants dans les trois bobines identiques de  $N$  spires décalées entre elles de  $\frac{2\pi}{3}$ . Les forces magnéto-motrices (F.M.M) créées par ces trois



Courants ont pour amplitude respective  $N'i_{11}$ ,  $N'i_{12}$  et  $N'i_{13}$  et pour direction respectivement  $i_{11}$ ,  $i_{12}$  et  $i_{13}$ .

Considérons un bobinage biphasé (fin) formé de deux bobines perpendiculaires comportant  $N'$  spires chacune. Les F.M.M créées par ces deux courants traversant les bobines ont pour amplitude  $N'i_{12}$  et  $N'i_{13}$  et pour direction respectivement  $i_{12}$  et  $i_{13}$ .

Signalons que  $i_{12}$  est parallèle à  $i_{11}$ .

La projection de  $N'i_{11}$ ,  $N'i_{12}$  et  $N'i_{13}$  sur le système d'axes ( $\alpha, \beta$ ) nous donne :

$$\begin{cases} N'i_{1\alpha} = N'i_{11} - \frac{1}{2}N'i_{12} - \frac{1}{2}N'i_{13} \\ N'i_{1\beta} = \frac{\sqrt{3}}{2}(-N'i_{12} + N'i_{13}) \end{cases} \Rightarrow \begin{cases} i_{1\alpha} = \frac{N'}{N_i} (i_{11} - \frac{i_{12}}{2} - \frac{i_{13}}{2}) \\ i_{1\beta} = \frac{N'}{N_i} \frac{\sqrt{3}}{2} (-i_{12} + i_{13}) \end{cases}$$

Supposons que les courants qui traversent les bobines sont sinusoidaux d'amplitude respective  $I_m$  et  $I'_m$ .

$$i_{11} = I_m \cos \omega t$$

$$i_{12} = I_m \cos(\omega t + \frac{2\pi}{3})$$

$$i_{13} = I_m \cos(\omega t + \frac{4\pi}{3})$$

$$i_{1\alpha} = I'_m \cos \omega t$$

$$i_{1\beta} = I'_m \cos(\omega t - \frac{\pi}{6}).$$

On suppose que la répartition du champ dans l'entre fer est sinusoidale.

Alors la phase 1 parcourue par le courant  $i_{11}$  crée une FMM dans son axe  $N'i_{11}$  et au point M distant de  $\theta$  une FMM  $N'i_{11} \cos \theta = E_1$ .

de même pour les phases 2 et 3.

$$\begin{cases} E_1 = NI_m \cos \omega t \cos \theta \\ E_2 = NI_m \cos(\omega t + \frac{2\pi}{3}) \cos(\theta + \frac{2\pi}{3}) \\ E_3 = NI_m \cos(\omega t + \frac{4\pi}{3}) \cos(\theta + \frac{4\pi}{3}) \end{cases} \quad \begin{cases} E'_1 = N'I'_m \cos \omega t \cos \theta \\ E'_2 = N'I'_m \cos(\omega t - \frac{\pi}{2}) \cos(\theta - \frac{\pi}{2}) \\ E'_3 = \sum_1^2 E'_i = N'I'_m \cos(\omega t - \theta) \end{cases}$$

Pour qu'il y ait équivalence entre les 2 systèmes il faut que  $\sum E_i = \sum E'_i$  c'est à dire  $\frac{3}{2} NI_m = N'I'_m$ .

On considère un bobinage parcouru par un courant  $i_0$  lié à  $(i_{11} + i_{12} + i_{13})$  par un coefficient de proportionnalité  $\lambda$  c'est à dire  $i_0 = \lambda(i_{11} + i_{12} + i_{13})$ .

donc

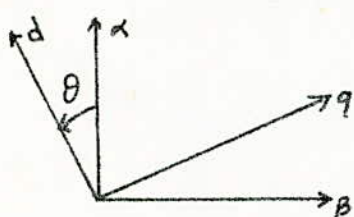
$$\begin{pmatrix} i_{11} \\ i_{12} \\ i_{13} \end{pmatrix} = [A]^{-1} \begin{pmatrix} i_{11} \\ i_{12} \\ i_{13} \end{pmatrix}$$

La matrice  $[A]$  est orthogonale si  $\lambda = \frac{1}{\sqrt{3}}$  et  $\frac{N}{N'} = \sqrt{\frac{2}{3}}$

$$\begin{pmatrix} i_{11} \\ i_{12} \\ i_{13} \end{pmatrix} = \sqrt{\frac{2}{3}} \begin{pmatrix} 1 & -\frac{1}{2} & -\frac{1}{2} \\ 0 & -\frac{\sqrt{3}}{2} & \frac{\sqrt{3}}{2} \\ \frac{1}{\sqrt{2}} & \frac{1}{\sqrt{2}} & \frac{1}{\sqrt{2}} \end{pmatrix} \begin{pmatrix} i_{11} \\ i_{12} \\ i_{13} \end{pmatrix}$$

### I-2-2 Interprétation des composantes de park.

La transformation de park nous permet de passer du système triphasé  $(i_{11}, i_{12}, i_{13})$  à un système d'phase tournant à une vitesse  $\omega_R = \frac{d\theta}{dt}$



Les courants  $i_{11}, i_{12}$  créent respectivement deux FMM  $N'i_{11}$  et  $N'i_{12}$ .

de même  $i_{11}, i_{12}$  créent respectivement

$N''i_{11}$  et  $N''i_{12}$  ( $N''$  étant le nombre de spires de l'enroulement)

fictifs tournant)

On procède de la même façon comme dans (I-2-1)

$$\text{càd } \sum_i E'_i = \sum_i E''_i. \text{ d'où } N' = N'' ; I'_m = I''_m.$$

La projection des FMM  $N'i_\alpha$  et  $N'i_\beta$  sur les axes  $\alpha$  et  $\beta$  nous donne

$$\begin{cases} i_\alpha = i_\alpha \cos \theta - i_\beta \sin \theta \\ i_\beta = i_\alpha \sin \theta + i_\beta \cos \theta \\ i_0 = i_0 \end{cases}$$

d'où on déduit:

$$\begin{pmatrix} i_\alpha \\ i_\beta \\ i_0 \end{pmatrix} = \sqrt{\frac{2}{3}} \begin{pmatrix} \cos \theta & \cos(\theta - \frac{2\pi}{3}) & \cos(\theta - \frac{4\pi}{3}) \\ \sin \theta & \sin(\theta - \frac{2\pi}{3}) & \sin(\theta - \frac{4\pi}{3}) \\ \frac{1}{\sqrt{2}} & \frac{1}{\sqrt{2}} & \frac{1}{\sqrt{2}} \end{pmatrix} \begin{pmatrix} i_{11} \\ i_{12} \\ i_{13} \end{pmatrix} \quad (1)a$$

$$\begin{pmatrix} i_{11} \\ i_{12} \\ i_{13} \end{pmatrix} = \sqrt{\frac{2}{3}} \begin{pmatrix} \frac{1}{\sqrt{2}} & \cos \theta & \sin \theta \\ \frac{1}{\sqrt{2}} & \cos(\theta - \frac{2\pi}{3}) & \sin(\theta - \frac{2\pi}{3}) \\ \frac{1}{\sqrt{2}} & \cos(\theta - \frac{4\pi}{3}) & \sin(\theta - \frac{4\pi}{3}) \end{pmatrix} \begin{pmatrix} i_0 \\ i_\alpha \\ i_\beta \end{pmatrix} \quad (1)b$$

$$\begin{cases} (i_R) = [P(\theta)] (i_F) & (i_F) \text{ matrice des courants fictifs} \\ (i_F) = [P(\theta)]^{-1} (i_R) & (i_R) \text{ " " " " réels} \\ & (P(\theta)) \text{ " de passage.} \end{cases}$$

- remarque: pour les grandeurs statoriques on remplace  $\theta$  par  $\theta_S$  et  $\theta$  par  $\theta_R$  pour les grandeurs rotoriques

### I-3 Mise en équation de la machine asynchrone.

#### I-3-1 Hypothèses simplificatrices.

- On suppose que le circuit magnétique est non saturé et parfaitement feuilleté au stator et au rotor.  
(donc tous les enroulements sont parcourus par des courants et que la densité du courant peut être consi-

éter uniforme dans la section des conducteurs élémentaires.

On ne considère que le premier harmonique d'espace de la distribution de F.M.M créée par chaque phase du stator et du rotor d'où il résulte du fait que l'entrefer est constant, que les inductances propres sont des constantes et que les inductances mutuelles entre deux enroulements sont fonction sinusoidale de l'angle entre deux axes magnétiques.

### I-3-2 Conventions de signes

- Un courant positif crée à travers son propre enroulement un flux positif.
- Le stator est considéré comme générateur et le rotor comme récepteur.
- Une F.E.M positive fait circuler un courant positif.
- Les angles et les vitesses de rotations sont comptés positivement dans le sens trigonométrique.

### I-3-3 Mise en équation.

$$\begin{cases} V_{11} = -R_s i_{11} - \frac{d\phi_{11}}{dt} \\ V_{12} = -R_s i_{12} - \frac{d\phi_{12}}{dt} \\ V_{13} = -R_s i_{13} - \frac{d\phi_{13}}{dt} \end{cases} \quad \begin{cases} V_{21} = R_R i_{21} + \frac{d\phi_{21}}{dt} \\ V_{22} = R_R i_{22} + \frac{d\phi_{22}}{dt} \\ V_{23} = R_R i_{23} + \frac{d\phi_{23}}{dt} \end{cases} \quad (2)$$

- N.B. A.N.K :
- A désigne tension ou flux ou courant
  - N désigne le stator s'il est égal à 1 et le rotor s'il est égal à 2.
  - K désigne le N° de la phase.
  - $R_s$  résistance d'une phase statorique.

- $R_R$  résistance d'une phase rotorique.

$$\begin{cases} \Phi_{11} = L_S i_{11} + M_S i_{12} + M_S i_{13} + M_{11} i_{11} + M_{12} i_{12} + M_{13} i_{13} \\ \Phi_{12} = L_S i_{12} + M_S i_{11} + M_{13} i_{13} + M_{12} i_{11} + M_{21} i_{12} + M_{22} i_{12} \\ \Phi_{13} = L_S i_{13} + M_S i_{11} + M_S i_{12} + M_{31} i_{11} + M_{32} i_{12} + M_{33} i_{13} \end{cases} \quad (3)$$

$$\begin{cases} \Phi_{21} = L_R i_{21} + M_R i_{22} + M_R i_{23} + M_{11} i_{21} + M_{12} i_{22} + M_{31} i_{23} \\ \Phi_{22} = L_R i_{22} + M_{11} i_{21} + M_{12} i_{23} + M_{21} i_{21} + M_{22} i_{22} + M_{32} i_{23} \\ \Phi_{23} = L_R i_{23} + M_{11} i_{21} + M_{12} i_{22} + M_{31} i_{21} + M_{22} i_{22} + M_{33} i_{23} \end{cases}$$

avec  $L_S$ : inductance propre d'une phase statorique.

$L_R$ : inductance " " " " rotorique

$M_S$  " Mutualité entre deux phases du stator

$M_R$  " " " " " " rotor

$M_{SR}$  " " " " " une phase du stator

et une autre phase du rotor.

N.B. S désigne le N° de la phase du stator

R " " " " " " du rotor.

$$\begin{cases} M_{11} = M \cos \theta & M_{12} = M \cos(\theta - \frac{\pi}{3}) & M_{13} = M \cos(\theta - \frac{2\pi}{3}) \\ M_{21} = M \cos(\theta - \frac{4\pi}{3}) & M_{22} = M \cos(\theta) & M_{23} = M \cos(\theta - \frac{1\pi}{3}) \\ M_{31} = M \cos(\theta - \frac{2\pi}{3}) & M_{32} = M \cos(\theta - \frac{4\pi}{3}) & M_{33} = M \cos \theta \end{cases} \quad (4)$$

M: Inductance mutuelle maximale entre une phase du stator et une phase du rotor.

$\theta$ : angle que fait l'axe de la phase une du stator et l'axe de la phase une du rotor.

En remplaçant les expressions des flus trouvées dans le système (3) dans (2) nous obtenons:

$$\begin{cases} V_{11} = -R_S i_{11} - L_S \frac{di_{11}}{dt} - M_S \frac{di_{12}}{dt} - M_S \frac{di_{13}}{dt} - \frac{d}{dt} (M_{11} i_{11} + M_{12} i_{12} + M_{13} i_{13}) \\ V_{12} = -R_S i_{12} - L_S \frac{di_{12}}{dt} - M_S \frac{di_{11}}{dt} - M_S \frac{di_{13}}{dt} - \frac{d}{dt} (M_{12} i_{11} + M_{13} i_{12} + M_{21} i_{13}) \\ V_{13} = -R_S i_{13} - L_S \frac{di_{13}}{dt} - M_S \frac{di_{11}}{dt} - M_S \frac{di_{12}}{dt} - \frac{d}{dt} (M_{13} i_{11} + M_{21} i_{12} + M_{22} i_{13}) \end{cases}$$

Sous forme matricielle ce système s'écrit :

$$\begin{bmatrix} V_S \end{bmatrix} = - \begin{bmatrix} R_B \end{bmatrix} \begin{bmatrix} i_S \end{bmatrix} - \rho \begin{bmatrix} L_{SS} \end{bmatrix} \begin{bmatrix} i_S \end{bmatrix} - \rho \begin{bmatrix} M_{SR} \end{bmatrix} \begin{bmatrix} i_R \end{bmatrix} \quad (5)a$$

de la même manière on démontre :

$$\begin{bmatrix} V_R \end{bmatrix} = \begin{bmatrix} R_R \end{bmatrix} \begin{bmatrix} i_R \end{bmatrix} + \rho \begin{bmatrix} L_{RR} \end{bmatrix} \begin{bmatrix} i_R \end{bmatrix} + \rho \begin{bmatrix} M_{RS} \end{bmatrix} \begin{bmatrix} i_S \end{bmatrix} \quad (5)b$$

avec  $\rho = \frac{d}{dt}$  et

$$\begin{bmatrix} R_B \end{bmatrix} = \begin{bmatrix} R_B & 0 & 0 \\ 0 & R_B & 0 \\ 0 & 0 & R_B \end{bmatrix}; \quad \begin{bmatrix} L_{SS} \end{bmatrix} = \begin{bmatrix} L_S & M_S & M_S \\ M_S & L_S & M_S \\ M_S & M_S & L_S \end{bmatrix}; \quad \begin{bmatrix} i_S \end{bmatrix} = \begin{bmatrix} i_{S1} \\ i_{S2} \\ i_{S3} \end{bmatrix}; \quad \begin{bmatrix} V_S \end{bmatrix} = \begin{bmatrix} V_{11} \\ V_{12} \\ V_{13} \end{bmatrix}$$

$$\begin{bmatrix} R_R \end{bmatrix} = \begin{bmatrix} R_R & 0 & 0 \\ 0 & R_R & 0 \\ 0 & 0 & R_R \end{bmatrix}; \quad \begin{bmatrix} L_{RR} \end{bmatrix} = \begin{bmatrix} L_R & M_R & M_R \\ M_R & L_R & M_R \\ M_R & M_R & L_R \end{bmatrix}; \quad \begin{bmatrix} i_R \end{bmatrix} = \begin{bmatrix} i_{R1} \\ i_{R2} \\ i_{R3} \end{bmatrix}; \quad \begin{bmatrix} V_R \end{bmatrix} = \begin{bmatrix} V_{21} \\ V_{22} \\ V_{23} \end{bmatrix}$$

$$\begin{bmatrix} M_{SR} \end{bmatrix} = \begin{bmatrix} M_{11} & M_{12} & M_{13} \\ M_{21} & M_{22} & M_{23} \\ M_{31} & M_{32} & M_{33} \end{bmatrix}; \quad \begin{bmatrix} M_{RS} \end{bmatrix} = \begin{bmatrix} M_{SR} \end{bmatrix}_t$$

en utilisant l'équation (1) dans les systèmes (5)a et (5)b

on trouve :

$$\begin{bmatrix} V_{SN} \end{bmatrix} = - \begin{bmatrix} R_B \end{bmatrix} \begin{bmatrix} i_{SN} \end{bmatrix} - \left[ \rho(\theta_s) \right]^{-1} \rho \begin{bmatrix} L_{SS} \end{bmatrix} \left[ \rho(\theta_s) \right] \begin{bmatrix} i_{SN} \end{bmatrix} - \left[ \rho(\theta_s) \right]^{-1} \rho \begin{bmatrix} M_{SR} \end{bmatrix} \left[ \rho(\theta_R) \right] \begin{bmatrix} i_{RN} \end{bmatrix}$$

$$\begin{bmatrix} V_{RN} \end{bmatrix} = \begin{bmatrix} R_R \end{bmatrix} \begin{bmatrix} i_{RN} \end{bmatrix} + \left[ \rho(\theta_R) \right]^{-1} \rho \begin{bmatrix} L_{RR} \end{bmatrix} \left[ \rho(\theta_R) \right] \begin{bmatrix} i_{RN} \end{bmatrix} + \left[ \rho(\theta_R) \right]^{-1} \rho \begin{bmatrix} M_{RS} \end{bmatrix} \left[ \rho(\theta_s) \right] \begin{bmatrix} i_{SN} \end{bmatrix}$$

avec

$$\begin{bmatrix} V_{SN} \end{bmatrix} = \begin{bmatrix} V_{10} \\ V_{1d} \\ V_{1q} \end{bmatrix}; \quad \begin{bmatrix} V_{RN} \end{bmatrix} = \begin{bmatrix} V_{20} \\ V_{2d} \\ V_{2q} \end{bmatrix}; \quad \begin{bmatrix} i_{SN} \end{bmatrix} = \begin{bmatrix} i_{s0} \\ i_{sd} \\ i_{sq} \end{bmatrix}; \quad \begin{bmatrix} i_{RN} \end{bmatrix} = \begin{bmatrix} i_{r0} \\ i_{rd} \\ i_{rq} \end{bmatrix}$$

$\left[ \rho(\theta_s) \right]$  étant la matrice de transformation définie précédemment par (1), seulement ici on a remplacé  $\theta$  par  $\theta_s$  de même pour  $\left[ \rho(\theta_R) \right]$ .

$\theta, \theta_s$  et  $\theta_R$  sont définis par la Figure (E1) page 11.

$$\text{alors } \theta_s = \theta + \theta_R \Rightarrow \frac{d\theta_s}{dt} = \frac{d(\theta + \theta_R)}{dt}.$$

- $\theta_S$  étant l'angle que fait l'axe réel  $S_n$  du stator avec l'axe fictif d.
- $\theta_R$  étant l'angle que fait l'axe  $R_n$  du rotor avec l'axe fictif d.
- $\theta$  étant l'angle que fait l'axe  $S_n$  du stator avec l'axe  $R_n$  du rotor en remplaçant  $[p(\theta_S)]$ ;  $[p(\theta_S)]^{-1}$ ;  $[R_n]$ ;  $[M_{SR}]$ ;  $[L_{SS}]$  et  $[p(\theta_R)]$  par leurs expressions. On aboutit à un système suivant:

$$\begin{bmatrix} V_{10} \\ V_{1d} \\ V_{1q} \end{bmatrix} = -R_S \begin{bmatrix} i_{10} \\ i_{1d} \\ i_{1q} \end{bmatrix} - \omega_S \frac{d\theta_S}{dt} \begin{bmatrix} 0 & 0 & 0 \\ 0 & 0 & 1 \\ 0 & -1 & 0 \end{bmatrix} \begin{bmatrix} i_{10} \\ i_{1d} \\ i_{1q} \end{bmatrix} - \begin{bmatrix} L_{S0} & 0 & 0 \\ 0 & L_S & 0 \\ 0 & 0 & L_S \end{bmatrix} p \begin{bmatrix} i_{10} \\ i_{1d} \\ i_{1q} \end{bmatrix} - M \frac{d\theta_S}{dt} \begin{bmatrix} 0 & 0 & 0 \\ 0 & 0 & 1 \\ 0 & -1 & 0 \end{bmatrix} \begin{bmatrix} i_{20} \\ i_{2d} \\ i_{2q} \end{bmatrix} - M \begin{bmatrix} 0 & 0 & 0 \\ 0 & 1 & 0 \\ 0 & 0 & 1 \end{bmatrix} p \begin{bmatrix} i_{20} \\ i_{2d} \\ i_{2q} \end{bmatrix}$$

même procédé pour le rotor.

$$\begin{bmatrix} V_{20} \\ V_{2d} \\ V_{2q} \end{bmatrix} = R_R \begin{bmatrix} i_{20} \\ i_{2d} \\ i_{2q} \end{bmatrix} + \omega_R \frac{d\theta_R}{dt} \begin{bmatrix} 0 & 0 & 0 \\ 0 & 0 & 1 \\ 0 & -1 & 0 \end{bmatrix} \begin{bmatrix} i_{20} \\ i_{2d} \\ i_{2q} \end{bmatrix} + \begin{bmatrix} L_{R0} & 0 & 0 \\ 0 & L_R & 0 \\ 0 & 0 & L_R \end{bmatrix} p \begin{bmatrix} i_{20} \\ i_{2d} \\ i_{2q} \end{bmatrix} + M \frac{d\theta_R}{dt} \begin{bmatrix} 0 & 0 & 0 \\ 0 & 0 & 1 \\ 0 & -1 & 0 \end{bmatrix} \begin{bmatrix} i_{10} \\ i_{1d} \\ i_{1q} \end{bmatrix} + p M \begin{bmatrix} 0 & 0 & 0 \\ 0 & 1 & 0 \\ 0 & 0 & 1 \end{bmatrix} \begin{bmatrix} i_{10} \\ i_{1d} \\ i_{1q} \end{bmatrix}$$

avec

$$L_S = L_s - M_S ; \quad L_R = L_R - M_R ; \quad L_{S0} = L_S + 2M_S ; \quad L_{R0} = L_R + 2M_R ; \quad \omega = \frac{3}{2} \pi$$

$L_S$  étant l'inductance propre cyclique du stator.

$L_R$  " " " " " du rotor

$L_{S0}$  " " homopolaire " " " du stator

$L_{R0}$  " " " " " du rotor

$M$  " " mutuelle " " entre stator et rotor

On déduit donc la matrice de passage des grandeurs réelles aux grandeurs fictives.

$V_{10}$	$-(R_d + L_d \omega_p)$	0	0	0	0	0	$i_{10}$
$V_{1d}$	0	$-(R_d + L_d \omega_p) - L_d \frac{d\theta_d}{dt}$	$-L_d \frac{d\theta_d}{dt}$	0	$-u_B P$	$-u_B \frac{d\theta_d}{dt}$	$i_{1d}$
$V_{1q}$	0	$L_d \frac{d\theta_d}{dt}$	$-(R_d + L_d \omega_p)$	0	$u_B \frac{d\theta_d}{dt}$	$-u_B P$	$i_{1q}$
$V_{20}$	0	0	0	$(R_R + L_R \omega_p)$	0	0	$i_{20}$
$V_{2d}$	0	$u_B P$	$u_B \frac{d\theta_R}{dt}$	0	$(R_R + L_R \omega_p) L_R \frac{d\theta_R}{dt}$	$i_{2d}$	
$V_{2q}$	0	$-u_B \frac{d\theta_R}{dt}$	$u_B P$	0	$-L_R \frac{d\theta_R}{dt} (R_R + L_R \omega_p)$	$i_{2q}$	

(6)

autre écriture des tensions

$$[V_s] = - [R_d] [i_s] - \frac{d}{dt} [\phi_s]$$

$$[V_{SN}] = - [R_d] [i_{SN}] - [\rho(\theta_d)]^{-1} \frac{d}{dt} [\rho(\theta_d)] [\phi_{SN}]$$

alors on a

$$\begin{cases} V_{10} = -R_d i_{10} - \frac{d}{dt} \phi_{10} \\ V_{1d} = -R_d i_{1d} - \left( \frac{d}{dt} \theta_d \right) \phi_{1q} - \frac{d}{dt} \phi_{1d} \quad (7)a \\ V_{1q} = -R_d i_{1q} + \frac{d}{dt} \theta_d \phi_{1q} - \frac{d}{dt} \phi_{1q} \end{cases}$$

de la même manière on démontre

$$\begin{cases} V_{20} = R_R i_{20} + \frac{d}{dt} \phi_{20} \\ V_{2d} = R_R i_{2d} + \left( \frac{d}{dt} \theta_R \right) \phi_{2q} + \frac{d}{dt} \phi_{2d} \quad (7)b \\ V_{2q} = R_R i_{2q} - \frac{d}{dt} \theta_R \phi_{2q} + \frac{d}{dt} \phi_{2q} \end{cases}$$

avec

$$\begin{cases} \phi_{1d} = L_d i_{1d} + u_B i_{1d} \\ \phi_{1q} = L_d i_{1q} + u_B i_{1q} \\ \phi_{10} = L_{so} i_{10} \end{cases} \quad \begin{cases} \phi_{2d} = L_R i_{2d} + u_B i_{2d} \\ \phi_{2q} = L_R i_{2q} + u_B i_{2q} \\ \phi_{20} = L_{so} i_{20} \end{cases}$$

La représentation schématique de la machine asynchrone rapportée aux axes  $d$  et  $q$  est faite sur la page 11 Fig(I-2).

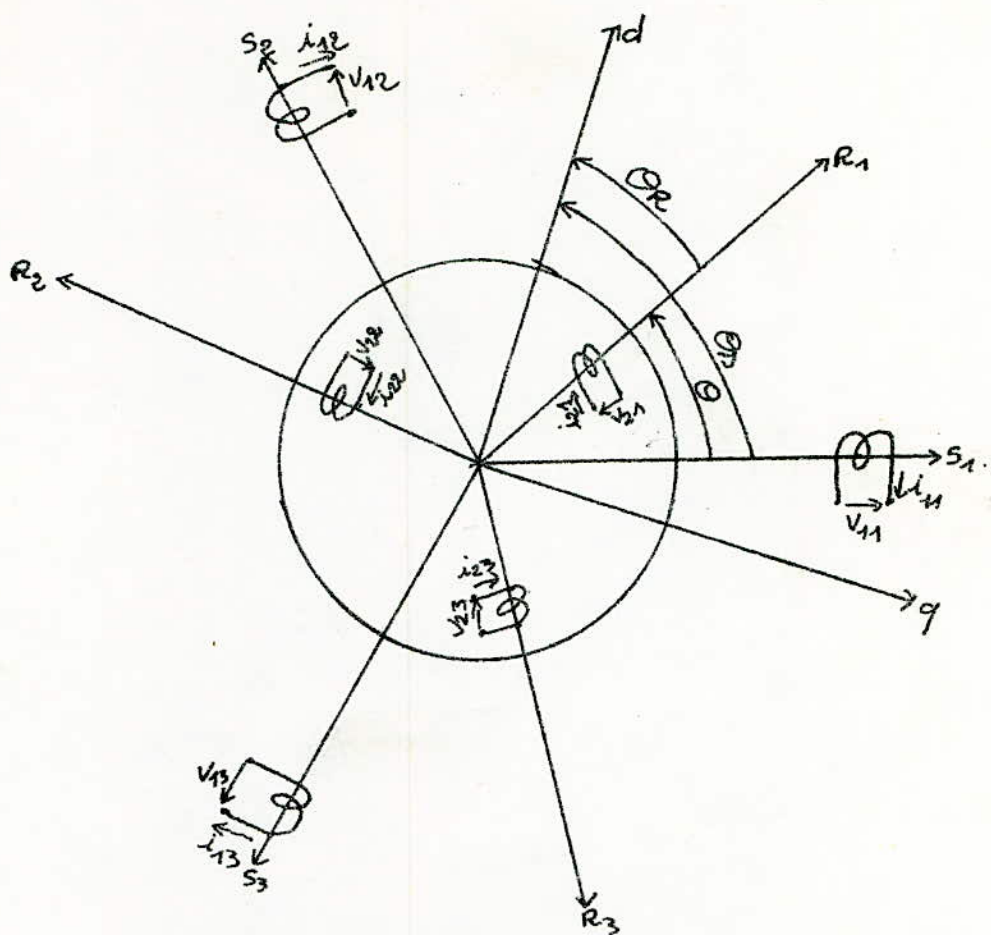


Fig I.1 Représentation schématique d'une machine asynchrone triphasée au stator et au rotor

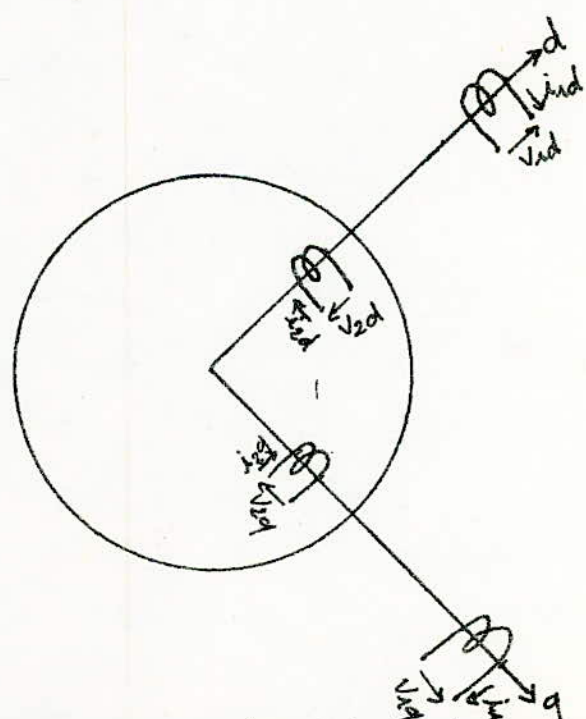


Fig I.2 Représentation schématique d'une machine asynchrone rapportée aux axes  $d$  et  $q$

### I-4 Calcul de puissance et couple.

Dans le cas le plus fréquent une machine asynchrone fonctionne en moteur, elle est alimentée au stator par une source triphasée et l'enroulement du rotor est fermé en court-circuit.

Nous nous allons nous placer dans le cas général où les tensions rotoriques aussi bien statoriques ne sont pas nulles. étant donné que le stator est considéré comme générateur et le rotor comme récepteur, l'expression de la puissance absorbée s'écrit alors.

$$P = V_{1d} i_{1d} + V_{1q} i_{1q} + V_{4d} i_{4d} + V_{4q} i_{4q} - V_{2d} i_{2d} - V_{2q} i_{2q}$$

qui s'écrit en utilisant la transformation de park

$$\begin{aligned} P &= \frac{2}{3} \left( \frac{1}{\sqrt{2}} V_{10} + \cos \theta_s V_{1d} + \sin \theta_s V_{1q} \right) \left( \frac{i_{10}}{\sqrt{2}} + \cos \theta_s i_{1d} + \sin \theta_s i_{1q} \right) \\ &\quad + \frac{2}{3} \left( \frac{1}{\sqrt{2}} V_{10} + \cos \left( \theta_s - \frac{2\pi}{3} \right) V_{1d} + \sin \left( \theta_s - \frac{2\pi}{3} \right) V_{1q} \right) \left( \frac{i_{10}}{\sqrt{2}} + \cos \left( \theta_s - \frac{2\pi}{3} \right) i_{1d} + \sin \left( \theta_s - \frac{2\pi}{3} \right) i_{1q} \right) \\ &\quad + \frac{2}{3} \left( \frac{1}{\sqrt{2}} V_{10} + \cos \left( \theta_s - \frac{4\pi}{3} \right) V_{1d} + \sin \left( \theta_s - \frac{4\pi}{3} \right) V_{1q} \right) \left( \frac{i_{10}}{\sqrt{2}} + \cos \left( \theta_s - \frac{4\pi}{3} \right) i_{1d} + \sin \left( \theta_s - \frac{4\pi}{3} \right) i_{1q} \right) \\ &\quad - \frac{2}{3} \left( \frac{1}{\sqrt{2}} V_{20} + \cos \theta_R V_{2d} + \sin \theta_R V_{2q} \right) \left( \frac{i_{20}}{\sqrt{2}} + \cos \theta_R i_{2d} + \sin \theta_R i_{2q} \right) \\ &\quad - \frac{2}{3} \left( \frac{1}{\sqrt{2}} V_{20} + \cos \left( \theta_R - \frac{2\pi}{3} \right) V_{2d} + \sin \left( \theta_R - \frac{2\pi}{3} \right) V_{2q} \right) \left( \frac{i_{20}}{\sqrt{2}} + \cos \left( \theta_R - \frac{2\pi}{3} \right) i_{2d} + \sin \left( \theta_R - \frac{2\pi}{3} \right) i_{2q} \right) \\ &\quad - \frac{2}{3} \left( \frac{1}{\sqrt{2}} V_{20} + \cos \left( \theta_R - \frac{4\pi}{3} \right) V_{2d} + \sin \left( \theta_R - \frac{4\pi}{3} \right) V_{2q} \right) \left( \frac{i_{20}}{\sqrt{2}} + \cos \left( \theta_R - \frac{4\pi}{3} \right) i_{2d} + \sin \left( \theta_R - \frac{4\pi}{3} \right) i_{2q} \right) \end{aligned}$$

la simplification de l'expression de  $P$  nous donne

$$P = V_{1d} i_{1d} + V_{1q} i_{1q} + V_{4d} i_{4d} - V_{2d} i_{2d} - V_{2q} i_{2q} - V_{20} i_{20} \quad (8)$$

autre écriture de la puissance.

On a  $\phi_{1d} i_{1q} - \phi_{1q} i_{1d} + \phi_{2d} i_{2q} - \phi_{2q} i_{2d} = 0$  [en remplaçant les flux par leurs expressions].

en remplaçant (7) dans (8) on obtient

$$P = -R_d(i_{1d}^2 + i_{1q}^2) - R_R(i_{2d}^2 + i_{2q}^2) - R_o i_{10}^2 - R_R i_{20}^2 \quad (I)$$

$$+ \rho \theta (\phi_{1d} i_{1q} - \phi_{1q} i_{1d}) \quad (II)$$

$$- (i_{1d} \rho \phi_{1d} + i_{1q} \rho \phi_{1q} + i_{2d} \rho \phi_{2d} + i_{2q} \rho \phi_{2q}) - (P \phi_{10}) i_{10} - (P \phi_{20}) i_{20} \quad (III)$$

(I) : pertes foudes statoriques et rotoriques

(II) : puissance mécanique transformée en puissance électrique

(III) : variation par unité de temps de énergie magnétique emmagasinée

d'où on déduit le couple électromagnétique ( $\Gamma_{em}$ )

$$\Gamma_{em} = \frac{P_{em}}{\rho \theta} = \phi_{1d} i_{1q} - \phi_{1q} i_{1d} \quad (9a)$$

pour une machine à  $p_1$  paires de pôles

$$\Gamma_{em} = p_1 (\phi_{1d} i_{1q} - \phi_{1q} i_{1d})$$

$$\text{ou bien } \Gamma_{em} = p_1 M (i_{2d} i_{1q} - i_{1d} i_{2q}) \quad (9b)$$

### I-5 Choix du référentiel

trois types de référentiels sont intéressants en pratique

a) axe de référence fixe par rapport au stator (matrice 1 page 14)

$$\frac{d\theta_s}{dt} = 0 \Rightarrow \frac{d\theta_R}{dt} = -\frac{d\theta}{dt} = -\omega_R$$

$\omega_R$  étant la vitesse de rotation du rotor

b) axe de référence fixe par rapport au rotor (matrice 2 page 14)

$$\frac{d\theta_R}{dt} = 0 \Rightarrow \frac{d\theta_s}{dt} = \frac{d\theta}{dt} = \omega_R$$

c) axe de référence tournant au synchronisme (matrice 3)

$$\frac{d\theta_s}{dt} = \omega \text{ et } \frac{d\theta_R}{dt} = \omega - \omega_R = q\omega$$

$\omega$  étant la pulsation du réseau

$$q = \frac{\omega - \omega_R}{\omega} : \text{glissement de la machine}$$

$V_{10}$	$-(R_s + Z_{SOP})$	0	0	0	0	0	$i_{10}$
$V_{1d}$	0	$-(R_s + Z_{SOP})$	0	0	$-iGP$	0	$i_{1d}$
$V_{1q}$	0	0	$-(R_s + Z_{SOP})$	0	0	$-iGP$	$i_{1q}$
$V_{20}$	0	0	0	$(R_R + Z_{ROP})$	0	0	$i_{20}$
$V_{2d}$	0	$iGP$	$-iGWR$	0	$(R_R + Z_{ROP}) - Z_{RW_R}$	0	$i_{2d}$
$V_{2q}$	0	$iGWR$	$iGP$	0	$Z_{RW_R}$	$(R_R + Z_{ROP})$	$i_{2q}$

(1)

$V_{10}$	$-(R_s + Z_{SOP})$	0	0	0	0	0	$i_{10}$
$V_{1d}$	0	$-(R_s + Z_{SOP})$	$-Z_{RW_R}$	0	$-iGP$	$-iGWR$	$i_{1d}$
$V_{1q}$	0	$Z_{RW_R}$	$-(R_s + Z_{SOP})$	0	$iGWR$	$-iGP$	$i_{1q}$
$V_{20}$	0	0	0	$(R_R + Z_{ROP})$	0	0	$i_{20}$
$V_{2d}$	0	$iGP$	0	0	$(R_R + Z_{ROP})$	0	$i_{2d}$
$V_{2q}$	0	0	$iGP$	0	0	$(R_R + Z_{ROP})$	$i_{2q}$

(2)

$V_{10}$	$-(R_s + Z_{SOP})$	0	0	0	0	0	$i_{10}$
$V_{1d}$	0	$-(R_s + Z_{SOP})$	$-Z_{RW}$	0	$-iGP$	$-iGWR$	$i_{1d}$
$V_{1q}$	0	$Z_{RW}$	$-(R_s + Z_{SOP})$	0	$iGWR$	$-iGP$	$i_{1q}$
$V_{20}$	0	0	0	$(R_R + Z_{ROP})$	0	0	$i_{20}$
$V_{2d}$	0	$iGP$	$g_{GW}$	0	$(R_R + Z_{ROP})$	$gZ_{RW}$	$i_{2d}$
$V_{2q}$	0	$-g_{GW}$	$iGP$	0	$-gZ_{RW}$	$(R_R + Z_{ROP})$	$i_{2q}$

(3)

## CHAPITRE II

### REGIMES PERMANENTS

Considérons un moteur asynchrone alimenté par un système de tensions triphasé équilibré

$$V_{11} = V_m \cos(\omega t + \lambda)$$

$$V_{12} = V_m \cos(\omega t + \lambda - \frac{2\pi}{3})$$

$$V_{13} = V_m \cos(\omega t + \lambda - \frac{4\pi}{3})$$

II-1 Expressions temporelles des tensions fictives.

d'après le système (1) on a

$$\begin{cases} V_{10} = \sqrt{\frac{2}{3}} \cdot \frac{1}{\sqrt{2}} (V_{11} + V_{12} + V_{13}) \\ V_{1d} = \sqrt{\frac{2}{3}} [\cos \theta_s V_{11} + \cos(\theta_s - \frac{2\pi}{3}) V_{12} + \cos(\theta_s - \frac{4\pi}{3})] \\ V_{1q} = \sqrt{\frac{2}{3}} [\sin \theta_s V_{11} + \sin(\theta_s - \frac{2\pi}{3}) V_{12} + \sin(\theta_s - \frac{4\pi}{3})] \end{cases}$$

d'où

$$\begin{cases} V_{10} = 0 \\ V_{1d} = \sqrt{\frac{3}{2}} V_m \cos(\omega t + \lambda - \theta_s) \\ V_{1q} = -\sqrt{\frac{3}{2}} V_m \sin(\omega t + \lambda - \theta_s) \end{cases}$$

pour un référentiel lié au rotor on a

$$\theta_s = \omega_r t + \lambda' \text{ alors } V_{10} = 0, \quad V_{1d} = \sqrt{\frac{3}{2}} V_m \cos(g\omega t + \lambda - \lambda')$$

$$V_{1q} = -\sqrt{\frac{3}{2}} V_m \sin(g\omega t + \lambda - \lambda')$$

$\lambda'$  étant arbitraire donc on peut le choisir égal à  $\lambda$

d'où

$$\begin{cases} V_{10} = 0 \\ V_{1d}(t) = \sqrt{\frac{3}{2}} V_m \cos g\omega t \\ V_{1q}(t) = \sqrt{\frac{3}{2}} V_m \cos(g\omega t + \frac{\pi}{2}) \end{cases} \quad (10)$$

en écriture complexe

$$\begin{cases} \bar{V}_{1d} = \sqrt{\frac{3}{2}} V_m e^{jg\omega t} \\ \bar{V}_{1q} = \sqrt{\frac{3}{2}} V_m e^{j(g\omega t + \frac{\pi}{2})} \end{cases} \Rightarrow \begin{cases} \bar{V}_{1d} = \sqrt{\frac{3}{2}} V_m \\ \bar{V}_{1q} = j\sqrt{\frac{3}{2}} V_m \end{cases} \text{ et } \frac{d}{dt} = jg\omega$$

II-2 Expressions temporelles des flux fictifs.

en négligeant la chute ohmique statorique le système (7) a écrit

$$\begin{cases} \bar{V}_{1d} = -(1-g) \omega \bar{\phi}_{1q} - j g \omega \bar{\phi}_{1d} = \sqrt{\frac{3}{2}} V_m \\ \bar{V}_{1q} = -j g \omega \bar{\phi}_{1q} + (1-g) \omega \bar{\phi}_{1d} = j \sqrt{\frac{3}{2}} V_m \end{cases}$$

Ce système a pour solution

$$\begin{aligned} \bar{\phi}_{1q} &= -\frac{\sqrt{\frac{3}{2}} V_m}{\omega} ; \quad \bar{\phi}_{1d} = j \sqrt{\frac{3}{2}} \frac{V_m}{\omega} \\ \Rightarrow \begin{cases} \bar{\phi}_{1q}(t) = -\frac{\sqrt{\frac{3}{2}} V_m}{\omega} \cos g \omega t \\ \bar{\phi}_{1d}(t) = -\frac{\sqrt{\frac{3}{2}} V_m}{\omega} \sin g \omega t \end{cases} \quad (11) \end{aligned}$$

### III-3 Expression des courants fictifs

d'après la matrice (2) page 14 tout en tenant compte que le rotor est en court-circuit on a

$$\begin{cases} V_{1d} = -(R_d + Z_{dp}) i_{1d} - Z_{dw} i_{1q} - M_p i_{1d} - M_w i_{2q} \\ V_{1q} = -(R_d + Z_{dp}) i_{1q} + Z_{dw} i_{1d} + M_w i_{1d} - M_p i_{2q} \\ 0 = M_p i_{1d} + (R_R + Z_{Rp}) i_{1d} \\ 0 = M_p i_{1q} + (R_R + Z_{Rp}) i_{2q} \end{cases}$$

d'où

$$\begin{cases} V_{1d} = \left[ -R_d - Z_{dp} + \frac{M^2 p^2}{R_R + Z_{Rp}} \right] i_{1d} + \left[ \frac{M^2 w_{RP}}{R_R + Z_{Rp}} - Z_{dw} \right] i_{1q} \\ V_{1q} = \left[ Z_{dw} - \frac{M^2 w_{RP}}{R_R + Z_{Rp}} \right] i_{1d} + \left[ -R_d - Z_{dp} + \frac{M^2 p^2}{R_R + Z_{Rp}} \right] i_{1q} \end{cases}$$

- autre écriture de  $V_{1d}$  et  $V_{1q}$ : posons

$$\sigma = 1 - k^2 = 1 - \frac{M^2}{Z_d Z_R} ; \quad L_d(p) = N_1 \frac{p + \beta}{p + \beta_0}$$

$$\beta_0 = \frac{R_R}{Z_R} = \frac{1}{T_0} ; \quad \beta = \frac{R_R}{N_2} = \frac{1}{T} ; \quad N_1 = \sigma Z_d ; \quad N_2 = \sigma Z_R$$

$\sigma$ : coefficient de dispersion de la machine

$k$ : " de couplage " "

$T_0$ : constante de temps du rotor, le stator étant en circuit ouvert

T: constante de temps du rotor, le stator étant en court

$N_1$ : inductance cyclique de fuites totales vue du stator

$N_d$ : " " " " " " " " rotor

$L_d(p)$ : impedance opérationnelle

$V_{1d}$  et  $V_{1q}$  s'écrivent

$$\begin{cases} V_{1d} = [-R_s - pL_d(p)] i_{1d} - L_d(p) w_R i_{1q} \\ V_{1q} = L_d(p) w_R i_{1d} + [-R_s - pL_d(p)] i_{1q} \end{cases} \quad (12)$$

en négligeant  $R_s$  et en passant aux notations complexes  
le système (12) devient

$$\begin{cases} \bar{V}_{1d} = -jgw L_d(jgw) \bar{I}_{1d} - L_d(jgw)(1-g)w \bar{I}_{1q} \\ \bar{V}_{1q} = L_d(jgw)(1-g)w \bar{I}_{1d} - jgw L_d(jgw) \bar{I}_{1q} \end{cases}$$

La résolution de ce système nous donne

$$\begin{cases} \bar{I}_{1d} = j \frac{\sqrt{3}}{2} \frac{V_m}{N_1 w} \cdot \frac{jgw + \beta_0}{jgw + \beta} = \frac{\bar{\phi}_{1d}}{N_1} \cdot \frac{jgw + \beta_0}{jgw + \beta} \\ \bar{I}_{1q} = -\frac{\sqrt{3}}{2} \frac{V_m}{N_1 w} \cdot \frac{jgw + \beta_0}{jgw + \beta} = \frac{\bar{\phi}_{1q}}{N_1} \cdot \frac{jgw + \beta_0}{jgw + \beta} \end{cases}$$

$$\Rightarrow \begin{cases} i_{1d}(t) = -\frac{\sqrt{3}}{2} \frac{V_m}{N_1 w} \sqrt{\frac{\beta_0^2 + g^2 w^2}{\beta^2 + g^2 w^2}} \sin(gwt + \varphi) \\ i_{1q}(t) = -\frac{\sqrt{3}}{2} \frac{V_m}{N_1 w} \sqrt{\frac{\beta_0^2 + g^2 w^2}{\beta^2 + g^2 w^2}} \cos(gwt + \varphi) \end{cases} \quad (13)$$

avec  $\varphi = \arg \left( \frac{jgw + \beta_0}{jgw + \beta} \right)$ .

II-4 Cas particulier  $g=0$

en remplaçant  $g$  par sa valeur ( $g=0$ ) dans les expressions (13), (11) et (10) on obtient

$$\begin{cases} V_{1d0} = \sqrt{\frac{3}{2}} V_m \\ V_{1q0} = 0 \end{cases} \quad \begin{cases} \phi_{1d0} = 0 \\ \phi_{1q0} = -\sqrt{\frac{3}{2}} \frac{V_m}{w} \end{cases} \quad \begin{cases} i_{1d0} = 0 \\ i_{1q0} = -\sqrt{\frac{3}{2}} \frac{V_m}{L_d w} \end{cases} \quad (14)$$

II-5 Schéma équivalent

posons  $\begin{cases} \bar{V}_1 = \bar{V}_{1q} + j\bar{V}_{1d} \\ \bar{V}_2 = \bar{V}_{2q} + j\bar{V}_{2d} \end{cases}$ ;  $\begin{cases} \bar{I}_1 = \bar{I}_{1q} + j\bar{I}_{1d} \\ \bar{I}_2 = \bar{I}_{2q} + j\bar{I}_{2d} \end{cases}$ ;  $\begin{cases} \bar{\phi}_1 = \bar{\phi}_{1q} + j\bar{\phi}_{1d} \\ \bar{\phi}_2 = \bar{\phi}_{2q} + j\bar{\phi}_{2d} \end{cases}$

$$\bar{V}_1 = \bar{V}_{1q} + j\bar{V}_{1d} = -R_s(\bar{I}_{1q} + j\bar{I}_{1d}) + (1-g)w(\bar{\phi}_{1d} - j\bar{\phi}_{1q}) + gw(j\bar{\phi}_{1q} + \bar{\phi}_{1d})$$

$$-\bar{V}_1 = -R_s\bar{I}_1 - jw\bar{\phi}_1$$

$$0 = \bar{V}_{2q} + j\bar{V}_{2d} = R_R(\bar{I}_{2q} + j\bar{I}_{2d}) + jgw\bar{\phi}_{2q} - gw\bar{\phi}_{2d}$$

$$-0 = R_R\bar{I}_2 + jgw\bar{\phi}_2$$

$$\bar{\phi}_1 = \bar{\phi}_{1q} + j\bar{\phi}_{1d} = L_s(\bar{I}_{1q} + j\bar{I}_{1d}) + M(\bar{I}_{2q} + j\bar{I}_{2d})$$

$$\bar{\phi}_2 = L_s\bar{I}_1 + M\bar{I}_2, \quad \bar{\phi}_2 = L_R\bar{I}_2 + M\bar{I}_1$$

d'où

$$\begin{cases} \bar{V}_1 = -R_s\bar{I}_1 - jL_s w\bar{I}_1 - jM w\bar{I}_2 \\ 0 = \frac{R_R}{g}\bar{I}_2 + jL_R w\bar{I}_2 + jM w\bar{I}_1 \end{cases}$$

ramenons les grandeurs motoriques au stator

$$\bar{I}'_2 = -\frac{M}{L_s}\bar{I}_2, \quad R'_R = R_R\left(\frac{L_s}{M}\right)^2, \quad N'_R = N_R\left(\frac{L_s}{M}\right)^2$$

$\bar{I}'_2, R'_R$  et  $N'_R$  étant les grandeurs ramenées au stator

$$\text{On a encore } (1-\alpha)N'_R = \alpha L_s \Rightarrow \frac{1}{\alpha} = \frac{N'_R + L_s}{N'_R}$$

d'où

$$\begin{cases} \bar{V}_1 = -R_s\bar{I}_1 - jL_s w(\bar{I}_1 - \bar{I}'_2) \\ jL_s w(\bar{I}_1 - \bar{I}'_2) = \left(\frac{R'_R}{g} + jN'_R w\right)\bar{I}'_2 \end{cases}$$

Le schéma équivalent est donné par la Figure (II.1) page 19

## II-6 Expression du couple électromagnétique

Soient  $A = A_m \cos(\omega t + \varphi)$ ,  $B = B_m \cos(\omega t + \psi)$

$$A = R(\bar{A} e^{j\omega t}), \quad B = R(\bar{B} e^{j\omega t})$$

$$\text{avec} \quad \bar{A} = A_m e^{j\varphi} \quad \bar{B} = B_m e^{j\psi}$$

$$A \cdot B = R(\bar{A} e^{j\omega t}) R(\bar{B} e^{j\omega t})$$

$$\cos a \cos b = \frac{1}{2} [\cos(a-b) + \cos(a+b)].$$

$$\Rightarrow AB = \frac{1}{2} R(\bar{A}\bar{B}) + \frac{1}{2} R(\bar{A}\bar{B} e^{2j\omega t})$$

pour une machine à  $p_1$  paires de pôles

$$\Gamma_{em} = p_1(\bar{\phi}_{1d} i_{1q} - \bar{\phi}_{1q} i_{1d})$$

$$\Gamma_{em} = p_1 \frac{1}{2} R(\bar{I}_{1q} \bar{\phi}_{1d} - \bar{I}_{1d} \bar{\phi}_{1q}) + \frac{1}{2} R^2 \left[ (\bar{I}_{1q} \bar{\phi}_{1d} - \bar{I}_{1d} \bar{\phi}_{1q}) e^{2j\omega t} \right]$$

$$\Gamma_{em} = -p_1 \frac{3}{2} \frac{V_m^2}{N_R w} \frac{M^2}{L_s} \frac{R_s/g}{(R_R/g) + N_R^2 w^2}$$

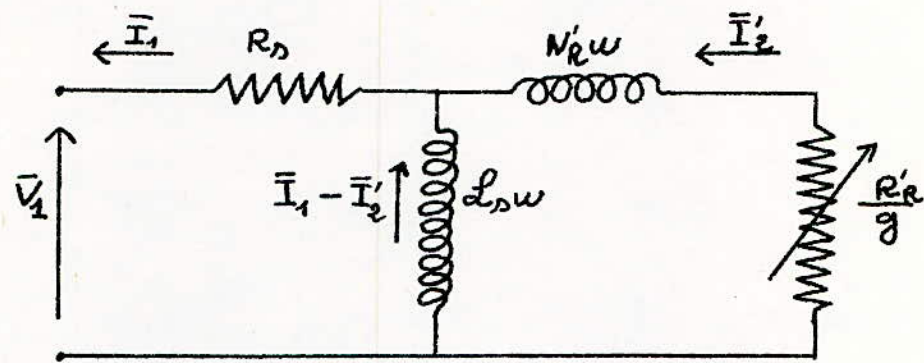


Fig II - 1 Schéma équivalent monophasé d'une machine asynchrone en régime permanent

## CHAPITRE III

### REGIMES TRANSITOIRES

#### III-1 Schéma équivalent.

D'après la matrice (2) page 14 tout en tenant compte que le rotor est en court-circuit on a

$$\begin{cases} V_{1d} = -(R_d + \lambda_d p)i_{1d} - L_{dW_R}i_{1q} - V_F i_{1d} - V_W i_{1q} \\ V_{1q} = -(R_d + \lambda_d p)i_{1q} + L_{dW_R}i_{1d} + V_F i_{1d} - V_F i_{1q} \\ 0 = V_F i_{1d} + (R_R + \lambda_R p)i_{1d} \\ 0 = V_F i_{1q} + (R_R + \lambda_R p)i_{1q} \end{cases}$$

d'où

$$\begin{cases} V_{1d} = \left[ -R_d - \lambda_d p + \frac{V_F^2 p^2}{R_d + \lambda_d p} \right] i_{1d} + \left[ \frac{V_F^2 W_R p}{R_d + \lambda_d p} - L_{dW_R} \right] i_{1q} \\ V_{1q} = \left[ L_{dW_R} - \frac{V_F^2 W_R p}{R_d + \lambda_d p} \right] i_{1d} + \left[ -R_d - \lambda_d p + \frac{V_F^2 p^2}{R_d + \lambda_d p} \right] i_{1q} \end{cases}$$

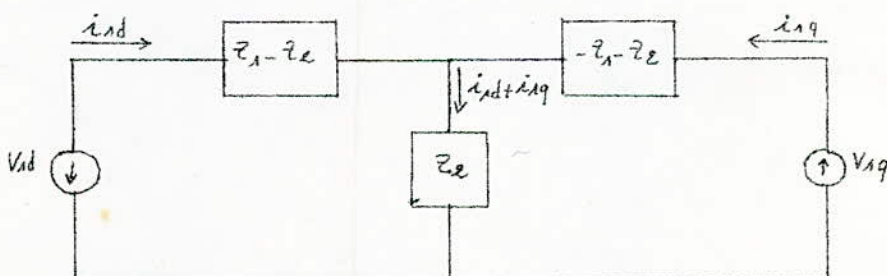
possons

$$z_1 = R_d + \lambda_d p - \frac{V_F^2 p^2}{R_d + \lambda_d p}; \quad z_2 = \lambda_d W_R - \frac{V_F^2 W_R p}{R_d + \lambda_d p}$$

$V_{1d}$  et  $V_{1q}$  peuvent s'écrire alors.

$$\begin{cases} V_{1d} = -(z_1 - z_2)i_{1d} - z_2(i_{1d} + i_{1q}) \\ V_{1q} = (-z_1 - z_2)i_{1q} + z_2(i_{1d} + i_{1q}) \end{cases}$$

Ces équations nous donnent un des schémas équivalents suivant:



pour avoir le régime permanent il suffit de remplacer par  $j$

#### III-2 Etude des régimes transitoires dans le cas général

on choisit un référentiel lié au rotor donc on a d'après

le système (10)

$$\begin{cases} V_{1d} = \sqrt{\frac{3}{2}} V_m \cos \omega t \\ V_{1q} = -\sqrt{\frac{3}{2}} V_m \sin \omega t \end{cases}$$

en remplaçant  $V_{1d}$  et  $V_{1q}$  dans le système (12) on a

$$\begin{cases} \sqrt{\frac{3}{2}} V_m \cos \omega t = [-R_d - \rho L_d(p)] i_{1d} - L_d(p) \omega_R i_{1q} \\ -\sqrt{\frac{3}{2}} V_m \sin \omega t = L_d(p) \omega_R i_{1d} + [-R_s - \rho L_d(p)] i_{1q} \end{cases}$$

Nous allons supposer que lors de la perturbation la vitesse reste constante (constante de temps mécanique très grande devant la constante de temps électrique) ainsi que la tension d'alimentation.

Appliquons la transformée de Laplace au système ci-dessus

$$\begin{cases} V_{1d} = [-R_d - \rho L_d(p)] I'_{1d} - L_d(p) \omega_R I'_{1q} \\ V_{1q} = L_d(p) \omega_R I'_{1d} + [-R_s - \rho L_d(p)] I'_{1q} \end{cases}$$

avec

$$\begin{cases} V_{1d} = L(V_{1d}) = \frac{\sqrt{\frac{3}{2}} V_m}{s} \left( \frac{1}{p-j\omega} + \frac{1}{p+j\omega} \right) \\ V_{1q} = L(V_{1q}) = \frac{-\sqrt{\frac{3}{2}} V_m}{2j} \left( \frac{1}{p-j\omega} - \frac{1}{p+j\omega} \right) \end{cases}$$

$$\begin{cases} i'_{1d}(t) = i_{1d}(t) + i_{1d}(0) \\ i'_{1q}(t) = i_{1q}(t) + i_{1q}(0) \end{cases}$$

Résolvons le système ci-dessus

$$\Delta = \left[ R_d + L_d p - \frac{\omega^2 p^2}{R_R + L_R p} \right]^2 + \left[ L_d \omega_R - \frac{\omega^2 \omega_R p}{R_R + L_R p} \right]$$

$$\Delta = \frac{\omega^2 \omega_R^2}{L_R (p + \beta_0)^2} \left[ p^2 + (\beta_1 + \beta - j\omega_R) p + \beta(\beta_0' - j\omega_R) \right] \left[ p^2 + (\beta_1 + \beta + j\omega_R) p + \beta(\beta_0' + j\omega_R) \right]$$

$$\beta_1 = \frac{R_d}{N_1} = \frac{1}{T_1}, \quad \beta_0' = \frac{R_d}{L_d} = \frac{1}{T'_0}$$

$T_1$ : constante de temps du stator, rotor court-circuité

$T'_0$ : constante de temps du stator, rotor ouvert

posons

$$A = \rho^2 + (\beta_1 + \beta - j\omega_R) \rho + \beta(\beta'_0 - j\omega_R)$$

$$B = \rho^2 + (\beta_1 + \beta + j\omega_R) \rho + \beta(\beta'_0 + j\omega_R)$$

$$\Delta_A = (\beta_1 + \beta)^2 - 4BB'_0 - \omega_R^2 + 2j\omega_R(\beta - \beta_1)$$

posons

$$\alpha_1 = (\beta_1 + \beta)^2 - 4BB'_0 - \omega_R^2$$

$$\alpha_2 = 2\omega_R(\beta - \beta_1)$$

$$\text{donc } \Delta_A = \alpha_1 + j\alpha_2 = (U + jV)^2$$

$$\text{avec } U = \sqrt{\frac{\alpha_1 + \sqrt{\alpha_1^2 + \alpha_2^2}}{2}} \quad ; \quad V = \frac{\alpha_2}{2\sqrt{\alpha_1 + \sqrt{\alpha_1^2 + \alpha_2^2}}}$$

alors

$$A = (P - P_1)(P - P_2)$$

$$\text{avec } P_1 = \frac{-(\beta_1 + \beta - U) + j(V + \omega_R)}{2} = -\frac{1}{T_3} + j\omega_1$$

$$P_2 = \frac{-(\beta_1 + \beta + U) + j(\omega_R - V)}{2} = -\frac{1}{T_2} + j\omega_2$$

Même procédé pour B en remplaçant j par -j

$$B = (P - P'_1)(P - P'_2)$$

$$\text{avec } P'_1 = \frac{-(\beta_1 + \beta - U) - j(\omega_R + V)}{2} = -\frac{1}{T_3} - j\omega_1$$

$$P'_2 = \frac{-(\beta_1 + \beta + U) - j(\omega_R - V)}{2} = -\frac{1}{T_2} - j\omega_2$$

$$T_2 = \frac{2}{\beta_1 + \beta + U} = \frac{2\sigma T_0 T'_0}{T_0 + T'_0 + \sigma U T_0 T'_0} ; \omega_2 = \frac{\omega_R - V}{2}$$

$$T_3 = \frac{2}{\beta_1 + \beta - U} = \frac{2\sigma T_0 T'_0}{T_0 + T'_0 - \sigma U T_0 T'_0} ; \omega_1 = \frac{\omega_R + V}{2}$$

$$\Delta = \frac{N_A^2}{(\rho + \beta_0)^2} (P - P_1)(P - P_2)(P - P'_1)(P - P'_2)$$

d'où

$$\left\{ \begin{array}{l} I'_{1d}(P) = \frac{(\rho + \beta_0)^2 [-V_{1d}(R_d + \rho L_d(P)) + V_{1q}L_d(P)\omega_R]}{N_A^2 (P - P_1)(P - P_2)(P - P'_1)(P - P'_2)} \\ I'_{1q}(P) = \frac{(\rho + \beta_0)^2 [-V_{1q}(R_d + \rho L_d(P)) - V_{1d}L_d(P)\omega_R]}{N_A^2 (P - P_1)(P - P_2)(P - P'_1)(P - P'_2)} \end{array} \right. \quad (45)$$

$$i_{1d}(t) = L^{-1}(I'_{1d}(P)) + i_{1d}(0)$$

$$i_{1q}(t) = L^{-1}(I'_{1q}(P)) + i_{1q}(0)$$

En utilisant la transformée inverse de park ((1)b) on tire les courants des trois phases statoriques ( $i_{11}, i_{12}, i_{13}$ ). Pour nous nous allons nous satisfaire simplement des régimes transitoires à vide tout en supposant que la machine tourne au synchro-nisme ( $g=0$ )

### III-3 ÉTUDE DES DIVERS RÉGIMES TRANSITOIRES ( $g=0$ )

$$g=0 \Rightarrow \omega_R = \omega$$

$$\alpha_1 = (\beta_1 + \beta)^2 - 4BB'_0 - \omega^2$$

en tenant compte que  $\beta, \beta_1 \ll \omega$  on a

$$\alpha_1 \approx -\omega^2$$

donc

$$\begin{cases} p_1 = -\beta_1 + j\omega \\ p_e = -\beta \end{cases} \quad \begin{cases} p'_1 = -\beta_1 - j\omega \\ p'_e = -\beta \end{cases}$$

$$\Delta = \frac{N_1^2}{(p+\beta_0)^2} (p+\beta_1-j\omega)(p+\beta_1+j\omega)(p+\beta)^2$$

$$\Delta = L_d(P)^2 (p+\beta_1-j\omega)(p+\beta_1+j\omega)$$

#### III-3-1 Court-circuit triphasé de l'enroulement statorique

La machine est primitivement connectée à un réseau triphasé de pulsation  $\omega$  et de tension  $\frac{V_m}{\sqrt{2}}$  (tension simple en valeur efficace).

Dans la représentation selon deux axes (voir figure (III-4) page 31) cela signifie que les bobinages fictifs  $d$  et  $q$  sont raccordés aux sources de tensions  $V_{1d}$  et  $V_{1q}$  dont les valeurs initiales  $V_{1d0}$  et  $V_{1q0}$  sont données par le système (14)

à  $t=0$  on ferme l'interrupteur K.

On suppose que  $V_{1d0}$  et  $V_{1q0}$  existent toujours mais à cet instant on applique un système opérationnel  $V'_{1d0}$  et  $V'_{1q0}$  égal et opposé à  $V_{1d0}$  et  $V_{1q0}$

d'après le système (15) en remplaçant  $V_{1d}$  par  $-V'_{1d0}$

et  $V_{1q}$  par zéro tout en négligeant  $R_s$  (chute résistive négligeable devant  $V$  inductive) on a

$$\left\{ \begin{array}{l} I'_{1d}(P) = \frac{(P+\beta_0)^2 V_{1d0} L_d(P)}{N_1^2 (P-P_1)(P-P_2)(P-P'_1)(P-P'_2)} \\ I'_{1q}(P) = \frac{(P+\beta_0)^2 V_{1d0} L_d(P) w}{P N_1^2 (P-P_1)(P-P_2)(P-P'_1)(P-P'_2)} \end{array} \right.$$

$$\text{or } (P-P_1)(P-P_2)(P-P'_1)(P-P'_2) = (P+\beta)^2 (P+\beta_1+jw)(P+\beta_1-jw)$$

donc

$$\left\{ \begin{array}{l} I'_{1d}(P) = \frac{V_{1d0}}{N_1} \frac{P+\beta_0}{(P+\beta)(P+\beta_1+jw)(P+\beta_1-jw)} \\ I'_{1q}(P) = \frac{V_{1d0} w}{N_1} \frac{P+\beta_0}{P(P+\beta)(P+\beta_1+jw)(P+\beta_1-jw)} \end{array} \right.$$

En appliquant la règle de développement d'Heaviside qui est

$$H(P) = \frac{f(P)}{P F(P)} = \frac{f(0)}{F(0)} \cdot \frac{1}{P} + \sum_{k=1}^m \frac{f(P_k)}{P_k F'(P_k)} \cdot \frac{1}{P - P_k}$$

$$H(t) = \frac{f(0)}{F(0)} + \sum \frac{f(P_k)}{P_k F'(P_k)} e^{P_k t}$$

donc

$$i'_{1d}(t) = \frac{V_{1d0}}{N_1 [(\beta_1-\beta)^2 + w^2]} \left[ (\beta_0-\beta) e^{-\beta t} + \left( \frac{(\beta_0-\beta_1)(\beta-\beta_1)}{w} + w \right) \sin wt e^{-\beta t} + (\beta-\beta_0) \cos wt e^{-\beta t} \right]$$

$$i'_{1q}(t) = \frac{V_{1d0} w}{N_1} \left[ \frac{\beta_0}{\beta(\beta_1^2 + w^2)} + \frac{(\beta-\beta_0)e^{-\beta t}}{\beta[(\beta_1-\beta)^2 + w^2]} + \right.$$

$$\left. \frac{[\beta_1(\beta_1-\beta_0)(\beta-\beta_1) + w(3\beta_1-\beta_0-\beta)]}{(\beta_1^2+w^2)[(\beta_1-\beta)^2+w^2]} \sin wt e^{-\beta t} + \right]$$

$$\left. \frac{[\beta_0(\beta_1-\beta)-\beta_1^2-w^2]}{(\beta_1^2+w^2)[(\beta_1-\beta)^2+w^2]} \cos wt e^{-\beta t} \right]$$

En supposant que  $\beta_0, \beta \ll w$  on a

$$i_{1d}''(t) = \frac{V_{ido}}{N_A w} \left[ \frac{\beta_0 - \beta}{w} e^{-\beta t} + \sin wt e^{-\beta_1 t} \right]$$

$$i_{1q}'(t) = \frac{V_{ido}}{N_A w} \left[ \frac{\beta_0}{\beta} + \frac{\beta - \beta_0}{\beta} e^{-\beta t} \cos wt e^{-\beta_1 t} \right]$$

d'où

$$i_{1d}(t) = i_{1d}''(t) + i_{1d0} = \frac{V_{ido}}{N_A w} \sin wt e^{-\beta_1 t}$$

$$i_{1q}(t) = i_{1q}'(t) + i_{1q0} = \frac{V_{ido}}{N_A w} \left[ \frac{\beta_0}{\beta} + \frac{\beta - \beta_0}{\beta} e^{-\beta t} \cos wt e^{-\beta_1 t} \right] - \frac{V_{ido}}{L_A w}$$

$V_{ido}$ ,  $i_{1d0}$  et  $i_{1q0}$  sont données par le système (14)

donc

$$\begin{cases} i_{1d}(t) = \frac{V_{ido}}{N_A w} \sin wt e^{-\beta_1 t} \\ i_{1q}(t) = \frac{V_{ido}}{N_A w} \left[ \frac{L_A - N_A}{L_A} e^{-\beta t} - \cos wt e^{-\beta_1 t} \right] \end{cases}$$

passons aux composantes nœudées

d'après (11b) on a

$$i_{11} = \sqrt{\frac{2}{3}} [ \cos \theta_S i_{1d} + \sin \theta_S i_{1q} ] \text{ avec } \theta_S = wt + d$$

donc

$$\begin{cases} i_{11} = \frac{V_m}{N_A w} \left[ \frac{L_A - N_A}{L_A} \sin(wt + d) e^{-\beta t} - \sin d e^{-\beta_1 t} \right] \\ i_{12} = \frac{V_m}{N_A w} \left[ \frac{L_A - N_A}{L_A} \sin(wt + d - \frac{2\pi}{3}) e^{-\beta t} - \sin(d - \frac{2\pi}{3}) e^{-\beta_1 t} \right] \\ i_{13} = \frac{V_m}{N_A w} \left[ \frac{L_A - N_A}{L_A} \sin(wt + d - \frac{4\pi}{3}) e^{-\beta t} - \sin(d - \frac{4\pi}{3}) e^{-\beta_1 t} \right] \end{cases} \quad (16)$$

- courants rotoriques

d'après la matrice (2) page 14 on a

$$\begin{cases} i_{1d} = - \frac{u_P}{R_A + L_A P} i_{1d}(P) \end{cases}$$

$$\begin{cases} i_{1q} = - \frac{u_P}{R_A + L_A P} i_{1q}(P) \end{cases}$$

$$i_{1d}''(P) = - \frac{u_P V_{ido}}{L_A N_A} \frac{P}{(P + \beta)(P + \beta_1 + jw)(P + \beta_1 - jw)}$$

$$i_{ed}(p) = -\frac{U_0 V_{ido}}{Z_{aN_1}} \frac{1}{2jw} \left( \frac{1}{p+\beta_1-jw} - \frac{1}{p+\beta_1+jw} \right)$$

$$i_{eq}(p) = -\frac{U_0 V_{ido} w}{Z_{aN_1}} \frac{1}{(p+\beta_1)(p+\beta_1+jw)(p+\beta_1-jw)}$$

avec  $i_{ed}(t) = i_{ed}(t) - i_{edo}$

$i_{eq}(t) = i_{eq}(t) - i_{eq0}$

d'après la règle Heaviside on a

$$\begin{cases} i_{ed}(t) = \frac{U_0 V_{ido}}{Z_{aN_1} w} \sin(wt + \pi) e^{-\beta_1 t} \\ i_{eq}(t) = \frac{U_0 V_{ido}}{Z_{aN_1} w} [\cos(wt - \beta_1 t) - e^{-\beta_1 t}] \end{cases}$$

qd  $t \rightarrow \infty$

$$\begin{cases} i_{ed}(t) \rightarrow 0 \\ i_{eq}(t) \rightarrow 0 \end{cases} \Rightarrow \begin{cases} i_{edo} = 0 \\ i_{eq0} = 0 \end{cases}$$

donc

$$i_{ed}(t) = \frac{U_0 V_{ido}}{Z_{aN_1} w} \sin(wt + \pi) e^{-\beta_1 t}$$

$$i_{eq}(t) = \frac{U_0 V_{ido}}{Z_{aN_1} w} (\cos wt e^{-\beta_1 t} - e^{-\beta_1 t})$$

d'après (1)b on a

$$i_{e1}(t) = -\frac{U_0 V_m}{Z_{aN_1} w} [\sin(wt - \lambda) e^{-\beta_1 t} + \sin(\lambda) e^{-\beta_1 t}]$$

$$i_{e2}(t) = -\frac{U_0 V_m}{Z_{aN_1} w} [\sin(wt - \lambda - \frac{2\pi}{3}) e^{-\beta_1 t} + \sin(\lambda - \frac{2\pi}{3}) e^{-\beta_1 t}] \quad (17)$$

$$i_{e3}(t) = -\frac{U_0 V_m}{Z_{aN_1} w} [\sin(wt - \lambda - \frac{4\pi}{3}) e^{-\beta_1 t} + \sin(\lambda - \frac{4\pi}{3}) e^{-\beta_1 t}]$$

- couple électromagnétique

d'après la formule (9)b qui est :

$$\Gamma_{em} = P_1 M (i_{ed} i_{eq} - i_{ed} i_{eq})$$

en remplaçant  $i_{ed}$ ,  $i_{ed}$ ,  $i_{eq}$  et  $i_{eq}$  par leurs

expressions temporelles on obtient

$$F_{em} = \frac{3}{2} N_1 (1-\sigma) P_1 V_m^2 \frac{\sin(\omega t)}{(N_1 w)^2} e^{-(\beta_1 + \beta) t} \quad (18)$$

### - Interprétation

On constate que les courants des trois phases statoriques et rotoriques ne subissent pas de discontinuité à l'instant du défaut et qu'ils tendent vers une valeur nulle.

Les courants de phase statoriques sont composés de deux parties : une partie aperiodique, elle correspond au maintient à travers l'enroulement correspondant du flux emprisonné à l'instant initial ce flux disparaît avec une constante de temps  $T_1 = \frac{1}{\beta_1}$  et une partie oscillatoire amortie de pulsation  $\omega$  cette composante est induite par le flux emprisonné à l'instant initial dans l'enroulement du rotor en court-circuit. Ce flux disparaît avec une constante de temps  $T = \frac{1}{\beta}$ .

De même pour les courants rotoriques, chaque courant de phase comporte deux composantes.

Une composante aperiodique, elle correspond à travers l'enroulement du flux emprisonné à l'instant initial elle s'éteint avec une constante de temps  $T = \frac{1}{\beta}$ .

Une composante oscillatoire amortie de pulsation  $\omega$  cette composante est induite par le flux emprisonné à l'instant initial dans l'enroulement du stator en court-circuit, elle s'éteint avec une constante de temps  $T_1 = \frac{1}{\beta_1}$

l'apparition du courant secondaire crée un couple transitoire qui s'estompe avec une constante de temps

$$T' = \frac{TT_1}{T+T_1} = \frac{1}{\beta + \beta_1}$$

le couple rem est indépendant du paramètre  $\lambda$

-Application de l'essai en court-circuit.

Le court-circuit brusque, appliqué à vide est éventuellement à tension réduite, peut être réalisé à titre d'essai dans le but de déterminer les paramètres transitoires de la machine asynchrone notamment la réactance  $N_{ew}$ , les constantes de temps  $T$  et  $T_1$ .

Il nous permet aussi de prévoir le réglage des protections. Le courant de court-circuit est de même ordre de grandeur en charge qu'à vide.

-Détermination de  $N_{ew}$ ,  $\lambda_{ew}$ ,  $\beta$  et  $\beta_1$  à partir d'un essai en court-circuit.

L'expression théorique du courant de court-circuit est donnée par:

$$i_{ss} = \left( \frac{V_m}{N_{ew}} - \frac{V_m}{\lambda_{ew}} \right) \sin(\omega t + \lambda) e^{-\beta t} - \frac{V_m}{N_{ew}} \sin \lambda e^{-\beta_1 t}$$

Connaissant la valeur du paramètre  $\lambda$ , on choisit un temps  $t_1$  sur le graphe  $i_{ss}(t)$  de façon que  $\sin(\omega t_1 + \lambda) = 0$  à cette valeur de  $t_1$  correspond un courant  $i_{ss}(t_1)$  donc on a

$$i_{ss}(t_1) = - \frac{V_m}{N_{ew}} \sin \lambda e^{-\beta_1 t_1}$$

On refait la même chose pour un autre temps  $t_2$ , donc  $i_{ss}(t_2) = - \frac{V_m}{N_{ew}} \sin \lambda e^{-\beta_1 t_2}$

à partir des deux équations précédentes on détermine la valeur de  $N_A w$  et  $\beta_1$ . Connaissant  $V_m$ .

Connaissant  $N_A w$  et  $\beta_1$  on peut déterminer facilement la valeur de  $\beta$  et  $Z_A w$ .

Il existe une méthode largement répandue de résolution de ce problème dite des moindres carrés, elle consiste en ce qui suit.

Considérons la somme des carrés des différences entre les valeurs expérimentales  $i_{in}(t_i)$  et celle de la fonction  $i_{in}(t, a, b, \beta, \beta_1)$  aux points correspondant

$$S(a, b, \beta_1) = \sum_{i=1}^n [i_{in}(t_i) - i_{in}(t_i, a, b, \beta, \beta_1)]^2$$

avec  $a = \frac{V_m}{N_A w}$ ,  $b = \frac{V_m}{Z_A w}$ ,

$i_{in}(t_i, a, b, \beta, \beta_1) = (a - b) \sin(w t_i + d) e^{-\beta t_i} - a \sin d e^{-\beta_1 t_i}$

$i_{in}(t_i)$  est la valeur du courant mesurée à l'instant  $t_i$

Choisissons les paramètres  $a, b, \beta$  et  $\beta_1$  de manière que cette somme ait la plus petite valeur possible.

c'est à dire  $S(a, b, \beta, \beta_1) = \min$ .

le problème se ramène ainsi à trouver les valeurs des paramètres  $a, b, \beta$  et  $\beta_1$  pour lesquelles  $S(a, b, \beta, \beta_1)$  admet un minimum. donc ces paramètres doivent vérifier le système d'équation suivant.

$$\left\{ \begin{array}{l} \frac{\partial S}{\partial a} = \sum_{i=1}^n [i_{in}(t_i) - i_{in}(t_i, a, b, \beta, \beta_1)] \frac{\partial i_{in}(t_i, a, b, \beta, \beta_1)}{\partial a} = 0 \\ \frac{\partial S}{\partial b} = \sum_{i=1}^n [i_{in}(t_i) - i_{in}(t_i, a, b, \beta, \beta_1)] \frac{\partial i_{in}(t_i, a, b, \beta, \beta_1)}{\partial b} = 0 \\ \frac{\partial S}{\partial \beta} = \sum_{i=1}^n [i_{in}(t_i) - i_{in}(t_i, a, b, \beta, \beta_1)] \frac{\partial i_{in}(t_i, a, b, \beta, \beta_1)}{\partial \beta} = 0 \\ \frac{\partial S}{\partial \beta_1} = \sum_{i=1}^n [i_{in}(t_i) - i_{in}(t_i, a, b, \beta, \beta_1)] \frac{\partial i_{in}(t_i, a, b, \beta, \beta_1)}{\partial \beta_1} = 0 \end{array} \right.$$

### III-3-2 Ouverture du stator

On suppose qu'on a les mêmes conditions initiales que dans l'exemple du court-circuit du stator, c'est le glissement avant la déconnection est nul.

Dans la représentation selon deux arces (Voir Figure 2 page 11) cela signifie que les bobinages fictifs  $d$  et  $q$  sont raccordés aux sources de tensions  $V_{1d}$  et  $V_{1q}$  dont les valeurs initiales  $V_{1d0}$  et  $V_{1q0}$  sont données par le système (14).

d'après le système (12) on a

$$\begin{cases} V_{1d} = [-R_d - \rho L_d(p)] i_{1d} - L_d(p) \omega i_{1q} \\ V_{1q} = L_d(p) \omega i_{1d} + [-R_d - \rho L_d(p)] i_{1q} \end{cases}$$

en négligeant la résistance  $R_d$  de l'enroulement statorique et en résolvant le système on trouve

$$\begin{cases} i_{1d} = \frac{-\rho V_{1d} + V_{1q} \omega}{L_d(p)(\rho^2 + \omega^2)} \\ i_{1q} = \frac{-\rho V_{1q} - \omega V_{1d}}{L_d(p)(\rho^2 + \omega^2)} \end{cases}$$

au moment de l'ouverture de l'interrupteur K, on suppose que  $i_{1d0}$  et  $i_{1q0}$  existent toujours mais à cet instant on applique un système opérationnel.

$i_{1d0}'$  et  $i_{1q0}'$  égal et opposé à  $i_{1d0}$  et  $i_{1q0}$ .

$$\begin{cases} 0 = -\rho V_{1d}'(p) + \omega V_{1q}'(p) \\ \frac{i_{1q0}'}{p} = \frac{\omega}{L_d(p)(\rho^2 + \omega^2)} V_{1d}'(p) + \frac{\rho V_{1q}'(p)}{L_d(p)(\rho^2 + \omega^2)} \end{cases}$$

avec  $V_{1d}'(t) = V_{1d}(t) - V_{1d0}$ ,  $V_{1q}'(t) = V_{1q}(t) - V_{1q0}$

La résolution de ce système donne  $V_{1d}(t)$  et  $V_{1q}(t)$  en supposant que  $\beta_1 \beta_0 \ll \omega$  on a

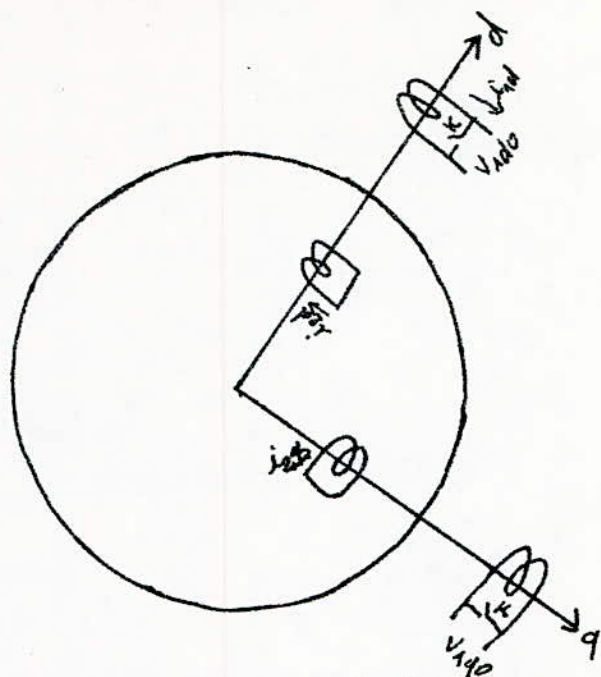


Fig III - 1 Situation préalable à la mise en court-circuit d'une Machine asynchrone à vide

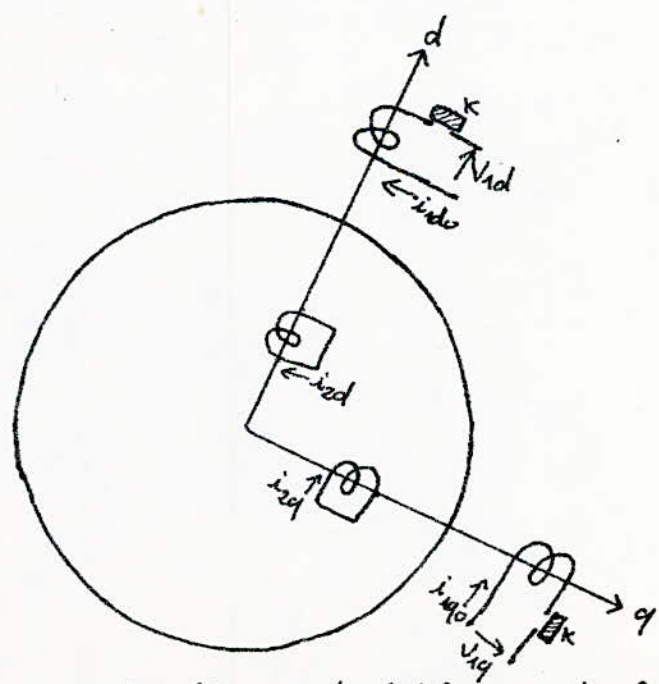


Fig III .2 . situation préalable au déclenchement d'une machine asynchrone à vide

$$\begin{cases} V_{ad}(t) = \sqrt{\frac{3}{2}} V_m \left( \frac{X_d - N_1}{X_d} \right) e^{-\beta_0 t} \\ V_{1q}(t) = \sqrt{\frac{3}{2}} V_m \frac{N_1}{X_d} \left( \frac{\beta_0 - \beta}{w} \right) e^{-\beta_0 t} \neq 0 \end{cases}$$

passage aux composantes réelles

d'après (1)b on a  $V_m = \sqrt{\frac{2}{3}} \sqrt{\frac{3}{2}} V_m \left( \frac{X_d - N_1}{X_d} \right) e^{-\beta_0 t} \cos \theta_d$

avec  $\theta_d = \omega t + \varphi$

$$\begin{cases} V_{11} = V_m \frac{X_d - N_1}{X_d} \cos(\omega t + \varphi) e^{-\beta_0 t} \\ V_{12} = V_m \frac{X_d - N_1}{X_d} \cos\left(\omega t + \varphi - \frac{2\pi}{3}\right) e^{-\beta_0 t} \\ V_{13} = V_m \frac{X_d - N_1}{X_d} \cos\left(\omega t + \varphi - \frac{4\pi}{3}\right) e^{-\beta_0 t} \end{cases} \quad (1g)$$

- Interprétation

On constate que les tensions des trois phases statoriques subissent à l'instant initial une discontinuité de valeur relative  $\frac{N_1}{X_d}$  puis s'éteint avec une constante de temps du rotor (stator ouvert). cette discontinuité provient du fait que seul l'enroulement rotorique emprisonne le flux initial.

- Application de l'essai ouverture du stator.

L'intérêt de cet essai est la détermination de la constante de temps  $T_0 = \frac{1}{\beta_0}$

- Détermination de  $T_0$

L'intersection de la tangente à la courbe (enveloppe supérieure) avec l'axe des temps au point  $t=0$  mous donne la valeur de  $T_0$  (Voir graphie III-6 page 59)

### III-3-3 Démarrage

Le moteur, primitivement à l'arrêt, est supposé alimenté à l'instant  $t=0$  par une tension triphasée de pulsation  $\omega$  et de valeur efficace  $\frac{V_m}{\sqrt{2}}$  ( $\omega, V_m$  sont des constantes). Les équations des tensions selon les axes  $d$  et  $q$  sont données par (7)a et (7)b

$$\left\{ \begin{array}{l} V_{1d} = -R_d i_{1d} - \phi_{1q} \frac{d\theta_s}{dt} - \frac{d\phi_{1d}}{dt} \\ V_{1q} = -R_d i_{1q} + \phi_{1d} \frac{d\theta_s}{dt} - \frac{d\phi_{1q}}{dt} \\ 0 = R_d i_{1d} + \phi_{2q} \frac{d\theta_s}{dt} + \frac{d\phi_{1d}}{dt} \\ 0 = R_d i_{1q} - \phi_{2d} \frac{d\theta_s}{dt} + \frac{d\phi_{1q}}{dt} \end{array} \right.$$

en choisissant un référentiel lié au champ tournant

on a alors

$$\frac{d\theta_s}{dt} = \omega, \quad \theta_s = \omega t + l'$$

puisque  $l'$  étant arbitraire on le prend égal à  $l + \frac{\pi}{2}$

$$V_{1d} = \sqrt{\frac{3}{2}} V_m \cos(\omega t + l - \theta_s) = \sqrt{\frac{3}{2}} V_m \cos(\omega t + l - \omega t - l - \frac{\pi}{2})$$

$$V_{1q} = -\sqrt{\frac{3}{2}} V_m \sin(\omega t + l - \theta_s) = -\sqrt{\frac{3}{2}} V_m \sin(\omega t + l - \omega t - l - \frac{\pi}{2})$$

$$\Rightarrow \begin{cases} V_{1d} = 0 \\ V_{1q} = \sqrt{\frac{3}{2}} V_m \end{cases}$$

Les systèmes (7)a et (7)b s'écrivent :

$$\left\{ \begin{array}{l} 0 = R_d i_{1d} + \omega \phi_{1q} + \frac{d\phi_{1d}}{dt} \\ \sqrt{\frac{3}{2}} V_m = -R_d i_{1q} + \omega \phi_{1d} - \frac{d\phi_{1q}}{dt} \end{array} \right. \quad (20)$$

$$\left\{ \begin{array}{l} 0 = R_d i_{1d} + q\omega \phi_{2q} + \frac{d\phi_{2d}}{dt} \\ 0 = R_d i_{1q} - q\omega \phi_{2d} + \frac{d\phi_{2q}}{dt} \end{array} \right.$$

- Régime transitoire au démarrage

à l'application de la tension se produit un régime transitoire d'établissement du flux et des courants.

Supposons tout d'abord qu'il soit de durée suffisamment faible pour que la vitesse n'ait pas le temps de varier sensiblement. Nous posons  $q=1$  pendant cette première phase (Constantes de temps électriques << devant la constante de temps mécanique). En négligeant la chute ohmique rotorique ( $R_{R1ed} = R_{R1eq} = 0$ ) le système (7) b décrit

$$\begin{cases} \frac{d\phi_{1d}}{dt} + j\omega \phi_{2q} = 0 \\ \frac{d\phi_{2q}}{dt} - j\omega \phi_{1d} = 0 \end{cases} \Rightarrow \phi_{1d} = \phi_{2q} = 0$$

$$\phi_{2d} = L_R i_{1d} + M_R i_{1q} = 0 \Rightarrow i_{1d} = -\frac{j\omega}{L_R} i_{1q}$$

$$\phi_{2q} = L_R i_{1q} + M_R i_{1d} = 0 \Rightarrow i_{1q} = -\frac{j\omega}{L_R} i_{1d}$$

On déduit donc

$$\begin{cases} \phi_{1d} = N_1 i_{1d} \Rightarrow i_{1d} = \frac{\phi_{1d}}{N_1} \\ \phi_{1q} = N_1 i_{1q} \Rightarrow i_{1q} = \frac{\phi_{1q}}{N_1} \end{cases}$$

en remplaçant  $i_{1d}$  et  $i_{1q}$  par leurs expressions dans (20) on obtient

$$\begin{cases} \frac{R_S}{N_1} \phi_{1d} + \omega \phi_{1q} + \frac{d\phi_{1d}}{dt} = 0 \\ \frac{R_S}{N_1} \phi_{1q} - \omega \phi_{1d} + \frac{d\phi_{1q}}{dt} = -\sqrt{\frac{3}{2}} V_m \end{cases}$$

en appliquant la transformée de Laplace pour ce système tout en tenant compte que le flux initial dans ces enroulements est nul.

$$\begin{cases} \beta_1 \phi'_{1d} + \omega \phi'_{1q} + p \phi'_{1d} = 0 \\ \beta_1 \phi'_{1q} - \omega \phi'_{1d} + p \phi'_{1q} = -\sqrt{\frac{3}{2}} \frac{V_m}{p} \end{cases}$$

On déduit donc

$$\phi_{1d}(t) = \sqrt{\frac{3}{2}} V_m \cdot \frac{1}{\beta_1^2 + \omega^2} \left[ \omega - (\beta_1 \sin \omega t + \omega \cos \omega t) e^{-\beta_1 t} \right]$$

$$\phi_{1q}(t) = -V_m \sqrt{\frac{3}{2}} \cdot \frac{1}{\beta_1^2 + \omega^2} \left[ \beta_1 + e^{-\beta_1 t} (-\beta_1 \cos \omega t + \omega \sin \omega t) \right]$$

en tenant compte que  $B_1 \ll w$

$$\begin{cases} \phi_{1d}(t) = \frac{\sqrt{\frac{3}{2}} V_m}{w} (1 - \cos wt e^{-\beta_1 t}) \\ \phi_{1q}(t) = -\frac{\sqrt{\frac{3}{2}} V_m}{w} \sin wt e^{-\beta_1 t} \end{cases} \quad (21)$$

On déduit donc

$$\begin{cases} i_{1d}(t) = \frac{\phi_{1d}(t)}{N_1} = \frac{\sqrt{\frac{3}{2}} V_m}{N_1 w} (1 - \cos wt e^{-\beta_1 t}) \\ i_{1q}(t) = \frac{\phi_{1q}(t)}{N_1} = -\frac{\sqrt{\frac{3}{2}} V_m}{N_1 w} \sin wt e^{-\beta_1 t} \end{cases}$$

de même pour les grandeurs rotatives

$$\begin{cases} i_{2d}(t) = -\frac{\sqrt{\frac{3}{2}} M V_m}{Z_a N_2 w} (1 - \cos wt e^{-\beta_1 t}) \end{cases}$$

$$\begin{cases} i_{2q}(t) = \frac{\sqrt{\frac{3}{2}} M V_m}{Z_a N_2 w} \sin wt e^{-\beta_1 t} \end{cases}$$

en passant aux grandeurs réelles par la transformée inverse de park, on obtient

$$\begin{cases} i_{11} = \frac{V_m}{N_1 w} \left[ -\sin(wt + \alpha) + \sin \alpha e^{-\beta_1 t} \right] \\ i_{12} = \frac{V_m}{N_1 w} \left[ -\sin(wt + \alpha - \frac{\pi}{3}) + \sin(\alpha - \frac{\pi}{3}) e^{-\beta_1 t} \right] \\ i_{13} = \frac{V_m}{N_1 w} \left[ -\sin(wt + \alpha - \frac{4\pi}{3}) + \sin(\alpha - \frac{4\pi}{3}) e^{-\beta_1 t} \right] \end{cases} \quad (21)a$$

$$\begin{cases} i_{21} = \frac{V_m M}{Z_a N_2 w} \left[ \sin(wt + \alpha) - \sin \alpha e^{-\beta_1 t} \right] \end{cases}$$

$$\begin{cases} i_{22} = \frac{V_m M}{Z_a N_2 w} \left[ \sin(wt + \alpha - \frac{\pi}{3}) - \sin(\alpha - \frac{\pi}{3}) e^{-\beta_1 t} \right] \end{cases} \quad (21)b$$

$$\begin{cases} i_{23} = \frac{V_m M}{Z_a N_2 w} \left[ \sin(wt + \alpha - \frac{4\pi}{3}) - \sin(\alpha - \frac{4\pi}{3}) e^{-\beta_1 t} \right] \end{cases}$$

### Interprétation

Le terme décroissant  $e^{-\beta_1 t}$  correspond donc classiquement au respect de la continuité du flux à l'instant de l'enclenchement. Il n'éteint rapidement mais sa présence donne lieu à des courants très élevés, d'autant plus que le régime est alors fortement saturé.

-Remarque: Nous avons supposé que la vitesse reste nulle

pendant le régime transitoire d'établissement du flux. Le calcul devient plus compliqué lorsqu'on veut tenir compte de la variation de vitesse intervenant pendant cette période. Elle peut n'être pas négligeable lorsque l'inertie des masses tournantes et le coefficient d'amortissement  $\beta_1$  sont faibles (constante de temps mécanique n'est pas très élevée devant  $\beta_1^{-1}$ )

#### - Intérêt de l'essai

A partir de cet essai on peut déterminer  $\beta_1$  et  $N_e w$ . Il nous donne aussi un certain aperçu sur l'ordre de grandeur du courant de démarrage du moteur asynchrone à rotor court-circuité.

#### - Etude de la montée en vitesse

Une fois que le régime transitoire pâtit, on peut déduire de l'expression (20) :

$$\begin{cases} \phi_{1d}(t) = \sqrt{\frac{3}{2}} \frac{V_m}{w} \\ \phi_{1q}(t) = 0 \end{cases}$$

$$\begin{cases} \phi_{1d} = L_d i_{1d} + \psi_{1ed} \\ \phi_{1q} = L_q i_{1q} + \psi_{1eq} \end{cases} \Rightarrow \begin{cases} i_{1d} = \frac{\phi_{1d} - \psi_{1ed}}{L_d} \\ i_{1q} = - \frac{\psi_{1eq}}{L_q} \end{cases}$$

l'expression (7)b s'écrit alors :

$$\begin{cases} 0 = R_{1d} i_{1d} + g w N_e i_{1q} + N_e \frac{d i_{1d}}{dt} \\ \sqrt{\frac{3}{2}} \frac{V_m i_{1q}}{L_d} = R_{1q} i_{1q} - g w N_e i_{1d} + N_e \frac{d i_{1q}}{dt} \end{cases}$$

d'autre part l'équation mécanique nous donne

$$C_m - P_{em} = J \frac{dw}{dt}$$

$$\omega = \frac{(1-g)w}{P_1}$$

$J$  étant le moment d'inertie de la masse tournante

$\Gamma_{em}$ : couple électromagnétique

$C_m$ : couple mécanique

$\omega$ : vitesse de rotation

Pour simplifier nous supposons que  $C_m = 0$

$$\Gamma_{em} = - \frac{Jw}{P_1} \frac{dq}{dt}$$

$$\Gamma_{em} = P_1 (\phi_{1d} i_{eq} - \phi_{1q} i_{eq}) = P_1 \frac{\sqrt{3} V_m}{w} \left( -\frac{w}{L_s} i_{eq} \right)$$

d'où on a le système suivant

$$\begin{cases} R_R i_{ed} + g w N_e i_{eq} + N_e \frac{di_{ed}}{dt} = 0 \\ R_R i_{eq} - g w N_e i_{ed} + N_e \frac{di_{eq}}{dt} = \frac{\sqrt{3} V_m g}{L_s} \quad (22) \\ \sqrt{3} \frac{P_1 V_m}{L_s w} i_{eq} = - \frac{Jw}{P_1} \frac{dq}{dt} \end{cases}$$

On aboutit à un système d'équations différentielles non linéaire dont les variables ( $i_{ed}$ ,  $i_{eq}$  et  $q$ ).

- Ce système non linéaire est du troisième ordre, n'a pas de solution analytique mais il peut être aisément résolu par voie numérique.

$J$  étant le moment d'inertie de la masse tournante

$\Gamma_{em}$ : couple électromagnétique

$C_m$ : couple mécanique

$\omega$ : vitesse de rotation

Pour simplifier nous supposons que  $C_m = 0$

$$\Gamma_{em} = - \frac{Jw}{P_h} \frac{dq}{dt}$$

$$\Gamma_{em} = P_h (\phi_{1d} i_{1q} - \phi_{1q} i_{1d}) = P_h \frac{\sqrt{\frac{3}{2}} V_m}{w} \left( -\frac{w}{L_s} i_{eq} \right)$$

d'où on a le système suivant

$$\begin{cases} R_R i_{ed} + q_w N_e i_{eq} + N_e \frac{di_{ed}}{dt} = 0 \\ R_R i_{eq} - q_w N_e i_{ed} + N_e \frac{di_{eq}}{dt} = \frac{\sqrt{\frac{3}{2}} V_m q}{L_s} \quad (22) \\ \sqrt{\frac{3}{2}} \frac{P_h V_m}{w} \phi_{1q} i_{eq} = - \frac{Jw}{P_h} \frac{dq}{dt} \end{cases}$$

On aboutit à un système d'équations différentielles non linéaire dont les variables ( $i_{ed}$ ,  $i_{eq}$  et  $q$ ).

- ce système non linéaire est du troisième ordre, n'a pas de solution analytique mais il peut être aisément résolu par voie numérique.

## IV ANALYSE EXPERIMENTALE

plaque signalétique

Type : LEROY puissance : 7 ch

stator montage étoile 380V I = 10,8A

triangle 220V I = 18,8A

Vitesse : N = 1435 tr/min ; cosφ = 0,85

Le rendement = η = 85% ; fréquence = f = 50Hz

rotor bobiné : montage étoile.

### IV-1 Identification de la machine.

#### IV-1-1 Mesure des résistances (Schéma de montage page 42)

Elle se fait à chaud. On prendra la moyenne des mesures effectuées.

- Les essais ont donné :

a) stator : Les valeurs sont données sur le tableau (2) de la page 39.

$$R_S = \frac{\sum R_i}{n} = 0,75 \Omega .$$

b) rotor : Les valeurs sont données sur le tableau (1) de la page 39.

$$R_R = \frac{\sum R_i}{n} = 0,12 \Omega .$$

#### IV-1-2 Mesure des inductances cycliques et le coefficient de dispersion

a) Inductance cyclique statorique.

On alimente le stator tout en laissant le rotor ouvert, On relève la tension entre la phase et le neutre du stator ainsi que le courant qui circule.

L'essai a donné :  $V_{A0} = 225 V$ ,  $I_{A0} = 5,4 A$

$$L_{0W} = \frac{V_{A0}}{I_{A0}} = 41,66 \Omega \Rightarrow L_0 = 0,133 H .$$

## rotor

$U(V)$	2,50	2,80	1,7	1,3
$I(A)$	10,75	9	7,50	4,50
$R = \frac{U}{I} (\Omega)$	0,11	0,12	0,11	0,14

Tableau 1

## stator

$U(V)$	8,60	7,50	6,30	5
$I(A)$	11,50	10	8,50	6,50
$R = \frac{U}{I} (\Omega)$	0,74	0,75	0,74	0,76

Tableau 2

Remarque : - Le rotor étant en étoile dans neutre donc la mesure de  $Z_{AW}$  en monophasé est impossible, pour sa détermination on utilisera une méthode qui est décrite dans le paragraphe (c).

- En faisant varier la position du rotor par rapport au stator  
On remarque que la plage de variation du courant est négligeable

#### b) Mesure du coefficient de dispersion $\sigma$

La valeur de  $\sigma$  peut être déterminer par deux méthodes  
b-1 par connaissance de rapport de transformation

Le rotor étant ouvert, on alimente le stator sous sa tension nominale et on relève la tension  $U_e$  du rotor  
l'essai a donné :

$$V_{10} = 225 \text{ V} \quad U_{10} = 380 \text{ V}$$

$$U_e = 110 \text{ V}$$

$$\text{d'où } K_1 = \frac{U_e}{U_{10}} = \frac{110}{380} = 0,2895$$

Le stator étant ouvert, on alimente le rotor sous une tension supérieure de 7 à 8% de la valeur trouvée précédemment ( $U_e = 110 \text{ V}$ ) et on relève  $U'_e$  aux bornes du stator  
l'essai a donné :

$$U'_e = 119 \text{ V}$$

$$U'_1 = 364 \text{ V}$$

$$\text{d'où : } K_2 = \frac{U'_1}{U'_e} = \frac{364}{119} = 3,06$$

$\sigma$  est donné par la relation suivante

$$\sigma = 1 - K_1 K_2 = 0,124$$

b-2 : Méthode de Dreyfus.

Le moteur tourne à vide, on coupe une phase statorique

et on mesure la tension entre la phase coupée et le point neutre.

L'essai a donné :  $U_m = 380 \text{ V}$ ,  $V = 145 \text{ V}$

$V$  étant la tension entre la phase coupée et le neutre

$\sigma$  est donné par la relation suivante

$$\sigma = \frac{U - \sqrt{3}V}{U + \sqrt{3}V} = 0,1126$$

Remarque : les deux méthodes ont données presque une même valeur

### c) Détermination de $Z_{RW}$

La connaissance de  $Z_{SW}$ ,  $K_1$  et  $K_2$  permet de déterminer la valeur de  $Z_{RW}$ . En effet :

$$1 - \sigma = K_1 K_2 = \frac{u_f^2}{Z_a Z_o} = \frac{u_f^2 Z_a}{Z_a^2 Z_o} = K_e^2 \frac{Z_{RW}}{Z_{SW}}$$

$$\text{d'où } Z_{RW} = \frac{K_1}{K_e} Z_{SW}$$

$$Z_{RW} = 3,95 \Omega \Rightarrow Z_a = 12,6 \text{ mH}$$

### d) Détermination de $M$ .

$$M = \sqrt{K_1 K_2 Z_o Z_R} = 0,04 \text{ H}$$

### e) détermination de $N_1$ , $N_2$ , $\beta_0$ , $\beta$ , $\beta_1$ et $\beta'_0$

$$N_1 = \sigma Z_o = 0,0152 \text{ H} ; N_2 = \sigma Z_R = 1,43 \text{ mH}$$

$$\beta_0 = 9,52 (\text{s}^{-1}) ; \beta'_0 = 5,64 (\text{s}^{-2})$$

$$\beta = 84,03 (\text{s}^{-1}) ; \beta_1 = 49,26 (\text{s}^{-1})$$

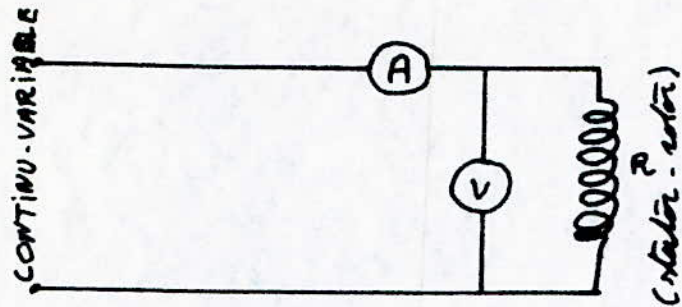
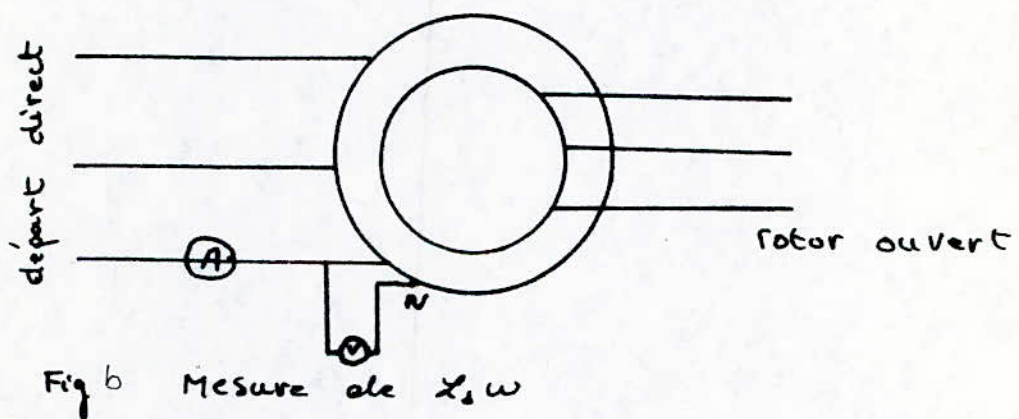


Fig a Mesure des resistances



## IV-2 Mise en court-circuit du stator

### IV-2-1 Montage:

Le schéma du montage est représenté sur la figure(1) page(19)

### IV-2-2 Mode opératoire.

On alimente la machine par un système de tensions triphasé équilibré et à l'instant  $t=0$  (prise comme origine des temps) on court-circuite les trois phases du stator.

On visualise la tension et le courant d'une phase statique sur un oscilloscope à mémoire.

On relève la variation du courant en fonction du temps deux essais ont été fait.

### IV-2-3 Détermination du paramètre $\lambda$ .

#### a) essai N° 1:

L'essai 1 a été fait sous une tension 143,75V (tension simple max). Le courant d'une phase statique avant le court-circuit est de 3,3A ( $I_{max}$ ). à l'instant du court-circuit la valeur de la tension est de  $V = -43,5V$ .

$$\text{Comme } V = V_m \cos(18t + \lambda) \quad (t \text{ en ms})$$

Or l'instant du court-circuit correspond à l'origine des temps ( $t=0$ ).

$$\text{donc } V = -43,5 = 143,75 \cos \lambda$$

$$\lambda = \pm 108^\circ$$

à cet instant la tension tend à passer vers sa valeur  $V_{min}$  négative donc  $\lambda = +108^\circ$

L'expression théorique de l'équation donnant la variation du courant en fonction du temps est donnée par :

$$i_{11} = \frac{V_m}{N_1 W} \left[ \frac{L_s - N_1}{L_s} \sin(\omega t + \lambda) e^{-\beta t} + \cos \lambda e^{-\beta_1 t} \right]$$

en remplaçant les paramètres par leurs valeurs

$i_{11}$  s'écrit :

$$i_{11}(t) = 26,7 \sin(18t + 108) e^{-0,084t} - 29,7 e^{-0,049t}$$

$i_{11}(t)$  est exprimé en (A) et  $t$  en [ms].

b) essai n° 2

$$V_{max} = 145,5$$

$$V = 138,1$$

$$\cos \lambda = \frac{V}{V_m} = - \frac{138,1}{145,5}$$

$$\lambda = \pm 18,4^\circ$$

à cet instant la tension tend à passer vers sa valeur max positive donc  $\lambda = -18,4^\circ$

$$\text{alors : } i_{11} = 27 \sin(18t - 18,4^\circ) e^{-0,084t} + 9,64 e^{-0,049t}$$

IV-2-4 : Tableaux des résultats.

Le tableau de l'essai 1 voir page 47

" " " l'essai 2 " page 48

Le tracé des courbes est donné sur la page 50 pour l'essai 1 et page 51 pour l'essai 2

IV-2-5 Détermination des paramètres de la machine.

en utilisant la méthode décrite au III-3-1 (Détermination des paramètres en utilisant l'essai en court-circuit) on trouve :  $\beta_1 = 0,061 [\text{ms}]^{-1}$ ;  $N_1 = 0,0109 \text{ H}$

$$L_s = 0,136 \text{ H} ; \beta = 0,0257 [\text{ms}]^{-1}$$

$\beta_1$ ,  $L_s$ ,  $N_1$  et  $\beta$  sont les valeurs moyennes. On a utilisé la 1<sup>re</sup> méthode décrite.

Signalons que dans l'essai 2 le paramètre  $\lambda$  est faible alors on peut négliger le terme  $\sin \lambda e^{-\beta t}$  devant le 2<sup>nd</sup> terme de  $i_{11}(t)$ .

donc l'intersection de la tangente à l'enveloppe supérieure au point  $i_{in} = i_{in \text{ max}}$  avec l'axe des temps nous donne la valeur de  $T = 35 \text{ ms} \Rightarrow \beta = 0,0286 (\text{ms})^{-1}$  (Voir Figure II-2 page 51)

#### IV-3 Démarrage.

##### IV-3-1 Montage.

Le schéma du montage est représenté sur la Figure 3 page 60

##### IV-3-2 Mode opératoire.

Le rotor est initialement en court-circuit, le stator est ouvert. A l'instant  $t=0$  on branche la machine sur le réseau.

On visualise sur un oscilloscope à mémoire la variation du courant dans une phase statorique en fonction du temps ( $i_{in}(t)$ ).

deux essais ont été fait.

Un essai sous une tension nominal (230V)

Un essai sous une tension réduite (107V)

##### IV-3-3 Détermination du paramètre $\lambda$ .

Les phénomènes qui ont lieu sont qualitativement les même que lors d'un court-circuit brusque d'un transformateur. le paramètre  $\lambda$  correspond à l'angle de court-circuit. du schéma équivalent page (19) on déduit que  $\lambda = 68^\circ$ . L'expression théorique de l'équation donnant la variation du courant en fonction du temps est donnée par:  $i_{in} = \frac{V_m}{N_1 w} (-\sin(\omega t + \lambda) + \sin \lambda e^{-\beta_1 t})$

en remplaçant  $V_m$ ,  $N_1 w$ ,  $\lambda$  et  $\beta_1$  par leurs valeurs

$$\begin{cases} i_{in} = -48,16 \sin(18t + 68) + 35,8 e^{-0,049t} & (\text{essai 1}) \\ i_{in} = -22,14 \sin(18t + 68) + 20,17 e^{-0,049t} & (\text{essai 2}) \end{cases}$$

#### IV-3-4 Tableaux des résultats.

Le Tableau de l'essai 1 Voir page (54)

" " " " 2 " " (55)

Le tracé des courbes: Voir page (56) pour l'essai 1 et page(57) pour l'essai 2.

#### IV-4 Ouverture du stator

##### IV-4-1 Montage (Voir Figure 2 page 60)

##### IV-4-2 Mode opératoire

Le moteur étant alimenté par un système de tensions sinusoidales équilibrées ( $V_m = 195V$ ) à l'instant  $t=0$  on sépare la machine du réseau. On relève la tension simple en fonction du temps.

##### IV-4-3 Détermination du paramètre $\lambda$ .

en visualisant la tension et le courant à la fois sur un oscilloscope à mémoire, à l'instant d'ouverture le courant s'annule et on relève la tension correspondante à cet instant. d'où la détermination de  $\lambda$ .

l'essai a donné  $\lambda = 0$

l'expression théorique de l'équation donnant la variation de la tension en fonction du temps est donnée par

$$V = 172,71 \cos 18t e^{0,00952t} \text{ (V) Temps.}$$

##### IV-4-4 Détermination de $T_0$ .

l'intersection de la tangente à l'enveloppe de la courbe pratique au point  $t=0$  avec l'axe des temps nous donne un point A. Le temps entre l'origine et le point A nous donne la valeur de  $T_0$ .

$$T_0 = 96 \text{ ms} \Rightarrow B_0 = 10,41 \text{ s}^{-1}$$

court-circuit du stator

$E(\text{ms})$	0	2	3	9	15,2	18,7	22	27	31,2
$i_{m1}(\text{A})$	-3,2	-10,4	-19,25	-25,6	-15,4	-5,65	-2,15	-5,6	-8,25
$t$	35	37,7	42	44	46,7	49,5	53	59,5	$\infty$
$i_m$	-5,85	-3,3	-1,7	-3	-1,05	-1,9	-1,4	-0,35	0

Tableau des valeurs pratiques de l'essai 1

$E(\text{ms})$	0	2	3	7	7,5	9	15,2	18,7	19
$i_{m1}(\text{A})$	-3,3	-12,75	-18,36	-32,6	-32,54	-31	-10,88	-5,95	-5,9
$t$	19,5	22	26,8	27	31,2	35	40,5	42	44
$i_m$	-5,91	-7,29	-9,88	-9,87	-7,7	-4,72	-3,15	-3,2	-3,32
$t$	45	46,7	49,5	53	59,5	80	100	120	$\infty$
$i_m$	-3,35	-3,03	-2,95	-2,23	-1,37	-0,53	-0,12	-0,079	0

Tableau des valeurs théoriques correspondant à l'essai 1

Court-circuit du stator

$t$ (ms)	0	1,5	1,8	2,5	3,0	6,0	10,0	12,0	16,0
$i_{AA}$ (A)	1,1	3,15	4,65	19,45	22,8	24,5	9,75	-4,25	-16
$t$	20,0	28,0	33,0	39,0	42,5	48,5	54,5	oo	
$i_m$	-3,35	9,55	4	-1,7	-0,25	1,5	0,5	0	

Tableau des relevés expérimentaux de l'essai e

$t$ (ms)	0	1	1,5	1,8	2,5	3	6	10	12
$i_{AA}$ (A)	1,1	9	12,51	14,64	18,32	20,53	23,43	9,58	2,37
$t$	16	20	28	33	39	42,5	48,5	54,5	80
$i_m$	-2,64	2	4,53	0,93	0,82	1,54	1,22	0,42	0,18
$t$	5	15,5	24,5	36	64,5	63,5	70	100	oo
$i_m$	24,37	-2,73	5,96	0,33	1,66	0,52	0,336	0,069	0

Tableau des valeurs calculées de l'essai e

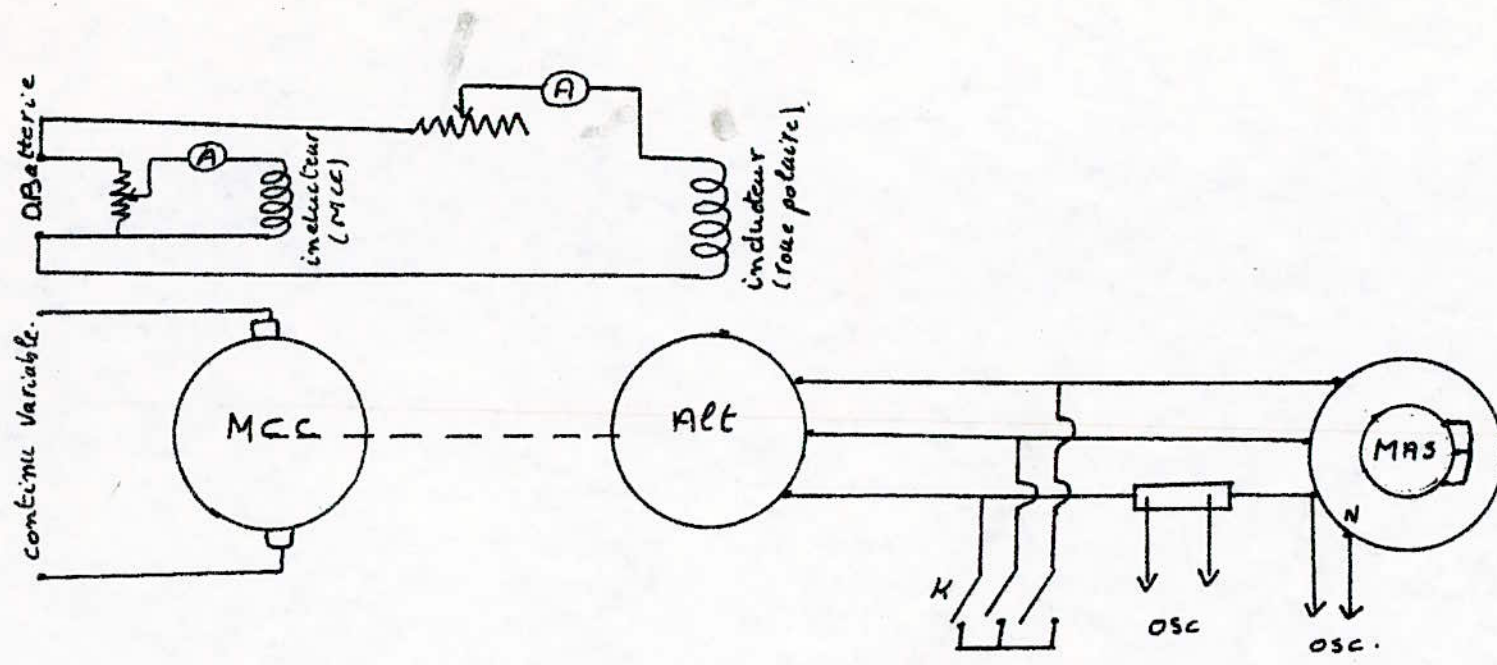
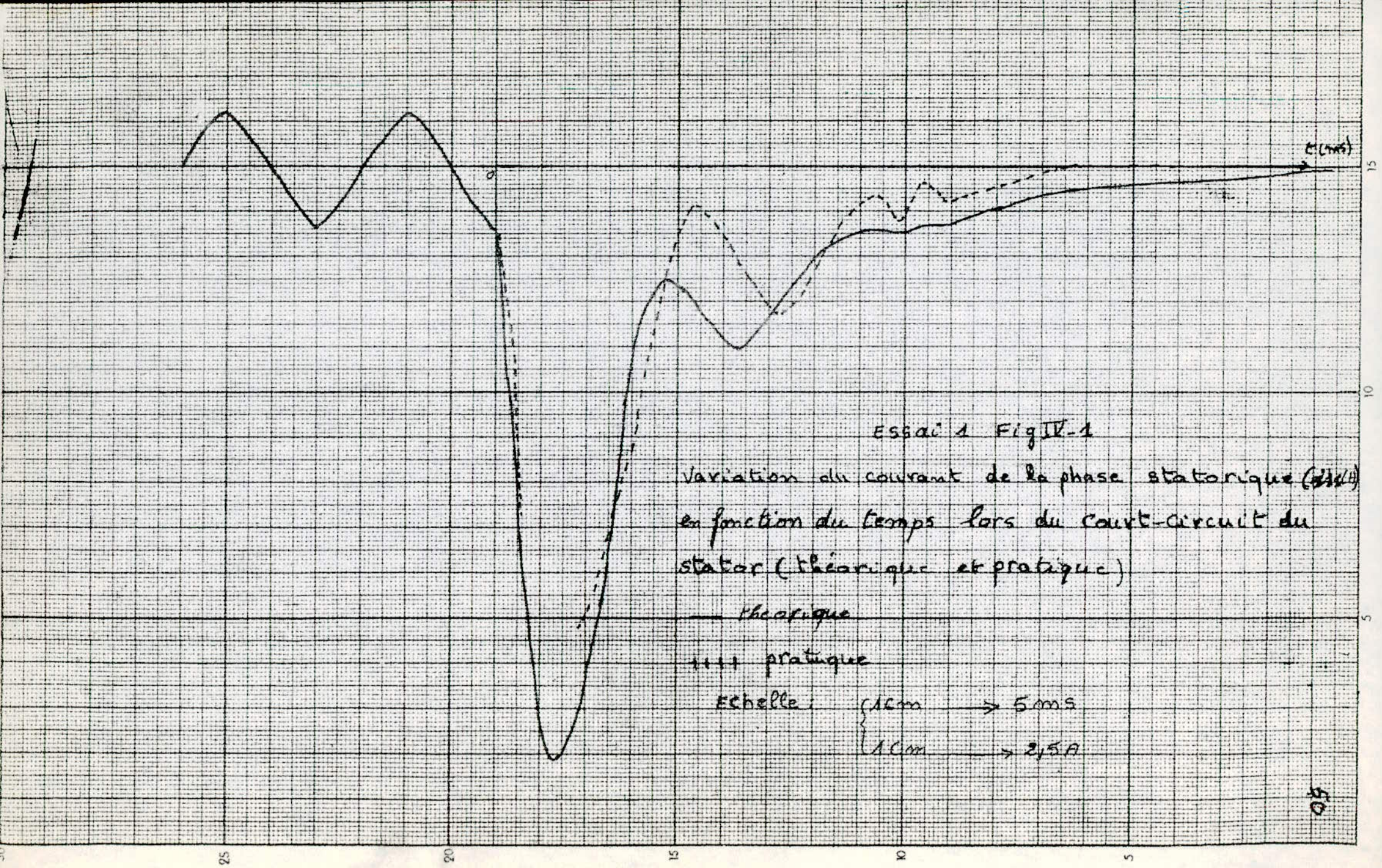
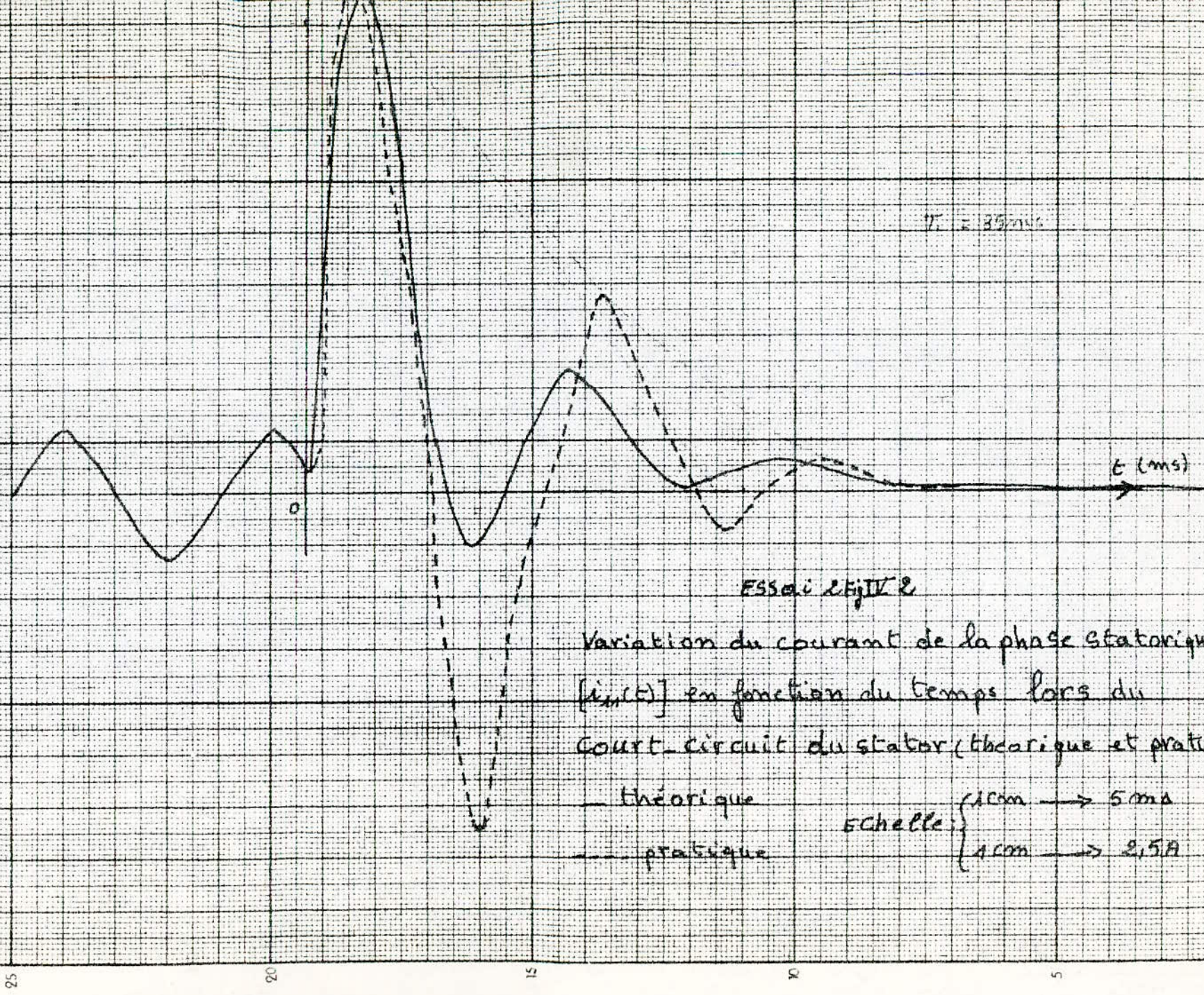


Fig. 1. Court-circuit du stator.





15  
10  
5

- couple électromagnétique.

l'expression temporelle du couple juste après le court-circuit est donnée par:

$$\Gamma_{em} = \frac{3}{2} (1-\alpha) P_1 \frac{V_m^2}{N_1 w^2} \sin(\omega t) e^{-(\beta_1 + \beta_2)t} \quad ((28) \text{ page } 27)$$

pour une tension nominale  $\Gamma_{em}$  s'écrit:

$$\Gamma_{em} = 172,28 \sin 18t e^{-0,133t} \quad (\text{M.N}) \quad \text{en N.m.}$$

$t$ (ms)	2	4	6	10	14
$\Gamma_{em}$ (M.N)	77,57	96,14	73,64	0	-25,35
$t$	24	34	44	54	$\infty$
$\Gamma_{em}$	6,68	-1,76	0,46	-0,122	0

$\tau$  (Nm)

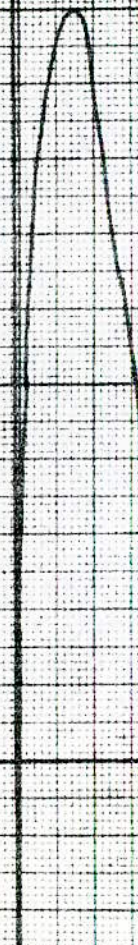


Fig. IV-3

Variation du couple électromagnétique ( $\tau_{em}$ )  
d'une machine asynchrone lors du court-circuit  
à vide en fonction du temps

échelle (1cm  $\rightarrow$  135,03 mN 9,61 MN)

1cm  $\rightarrow$  5 ms

$\rightarrow \tau$  (Nm)

E3

## Démarrage

$t$ (ms)	0	5	15	25	35	45	55	65	75
$i_{AA}$ (A)	0	42,5	-29,5	37,5	-28,5	40,5	-29	39	-28,5
$t$	85	95	105	115	125	135	145	155	165
$i_M$	38	-29	34,75	-31,75	31	-31,25	32,75	-27,5	34,25
$t$	175	185	195	205	215	225	235	245	255
$i_M$	-28,5	29,5	-28,5	25,5	-25,75	21,75	-23,25	20	-20,25
$t$	265	275	285	295					
$i_M$	17,5	-15,5	11,25						

Tableau des relevés expérimentaux de l'essai 1

$t$ (ms)	0	5	10	15	20	25	30	35	40
$i_{AA}$ (A)	0	16,95	72	39,41	-27,89	-4,92	54,97	26,07	-38,36
$t$	45	50	55	60	65	70	75	80	85
$i_{AA}$	-13,11	48,5	21,05	-42,3	-16,2	46,1	19,17	-43,76	-13,34
$t$	90	95	100	105	110	115	120	130	140
$i_M$	45,2	18,46	-44,32	-49,78	44,85	18,2	-44,53	44,73	-44,6

Tableau des valeurs calculées de l'essai 1

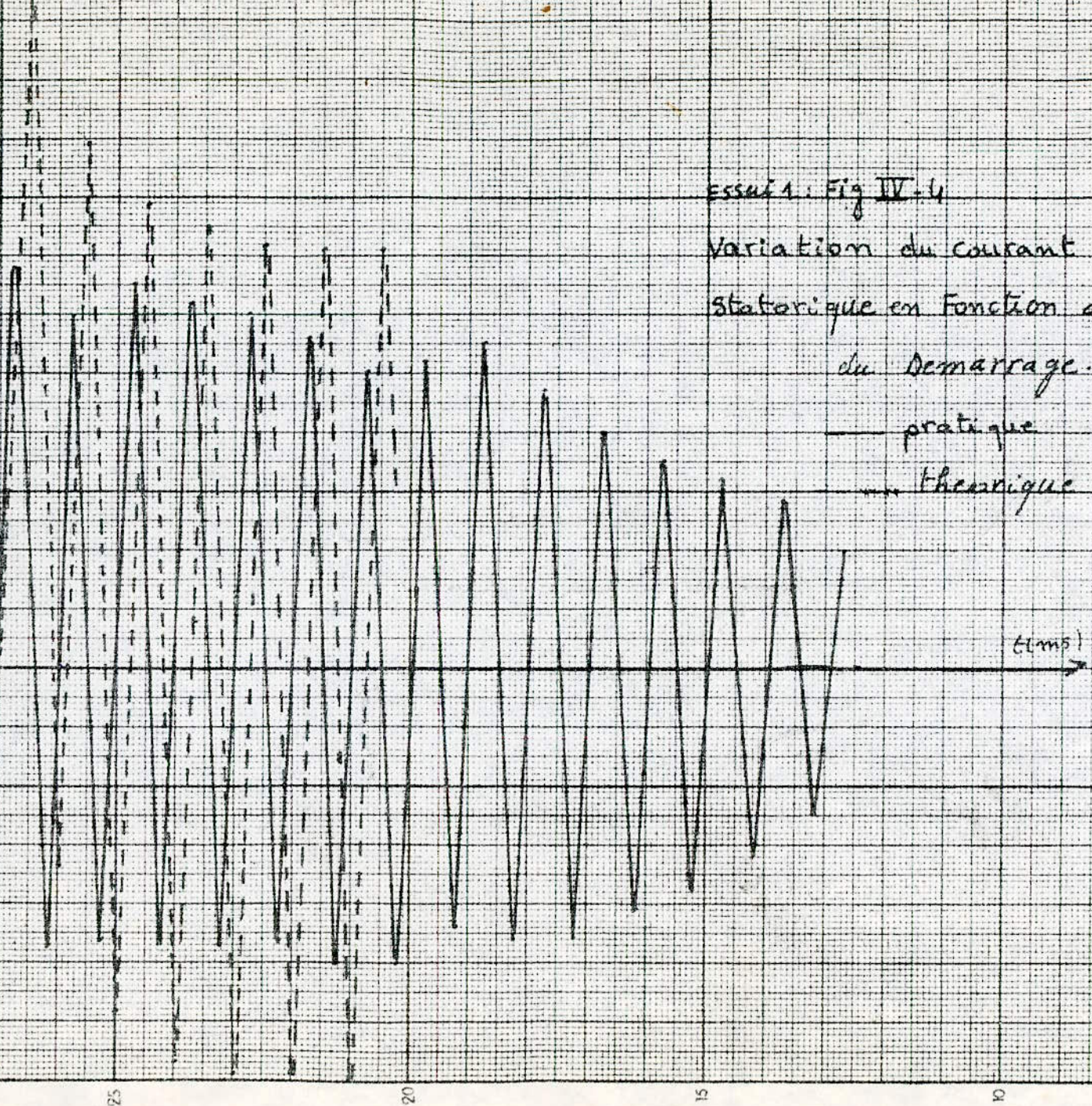
Démarrage

$t$ (ms)	0	5,8	15,4	25,6	35,6	45	55,6	65	75,4
$i_m(A)$	0	-16,6	21,45	-20,25	19,3	-19,75	19,9	-19,85	20,05
$t$	85,4	95,5							
$i_m$	-21,35	20,7							

Tableau des relevés expérimentaux de l'essai e

$t$ (ms)	0	1	2,5	5	10	15	20	25	30
$i_m(A)$	0	-2,56	-2,24	7,86	33,49	18,34	-12,97	-2,28	25,54
$t$	35	40	45	50	55				
$i_m$	12,12	-19,84	-6,1	22,56	9,79				

Tableau des valeurs calculées de l'essai e.

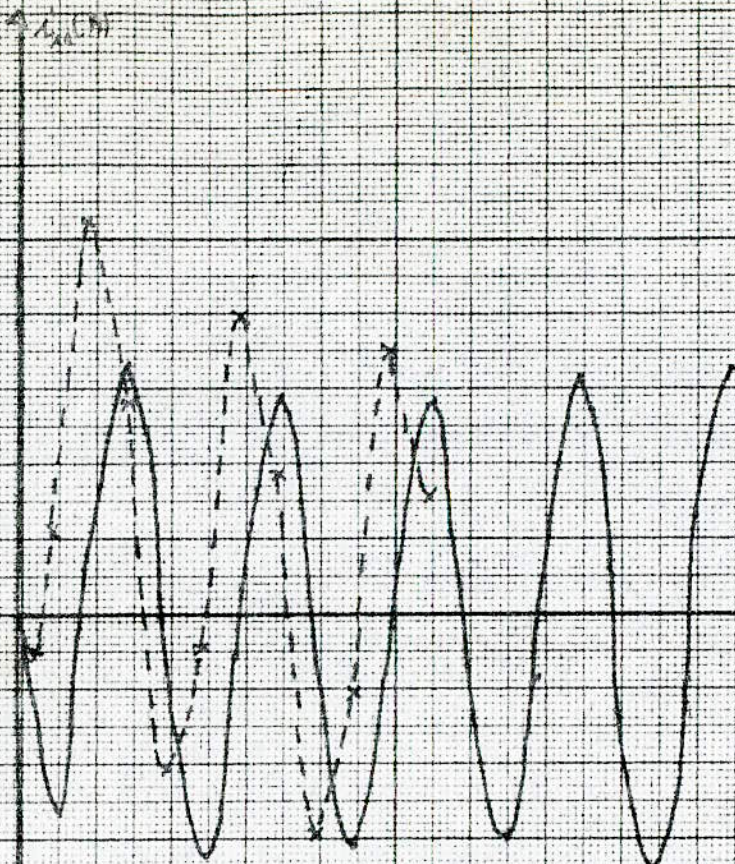


ESSAI 1 : Fig IV-4

Variation du courant de la phase  
statorique en fonction du temps lors  
du démarrage.

pratique      Echelle [1cm → 6,25s]  
théorique      [1cm → 20ms]

(Temps)



Essai 2: Fig IV-5

Variation du courant de la phase  
statorique en fonction du temps  
lors du démarrage

pratique      Echelle: 1cm → 6,25A  
 $\rightarrow$       théorique      Echelle: 1cm → 20ms

## ouverture du stator

$t$ (ms)	0	10	20	30	40	50	60	70	80
$V_m(V)$	190	-187,5	158	-158	138	-147	124	-115	90
$t$	90	100	110	120	130	140	150	160	170
$V$	-101	77,5	-78,5	64,5	-68	50,5	-57,5	34	-63,5
$t$	180	190	200	210	220	230	240	250	260
$V$	34	-30	22,5	-21	14,5	-14	8	-9,5	-

Tableau des relevées expérimentales

$t$ (ms)	0	10	20	30	40	50	60	70	80
$V(V)$	172,71	-157	142,7	-129,18	118	-107,13	97,55	-88,7	80,64
$t$	90	100	110	120	130	140	150	160	170
$V$	-73,3	66,66	-60,6	55,1	-50,1	45,55	-41,4	33,65	-34,23
$t$	180	190	200	210	220	230	240	250	260
$V$	31,12	-28,3	+25,92	-23,40	21,96	-19,33	+17,58	-16	14,53

Tableau des valeurs calculées

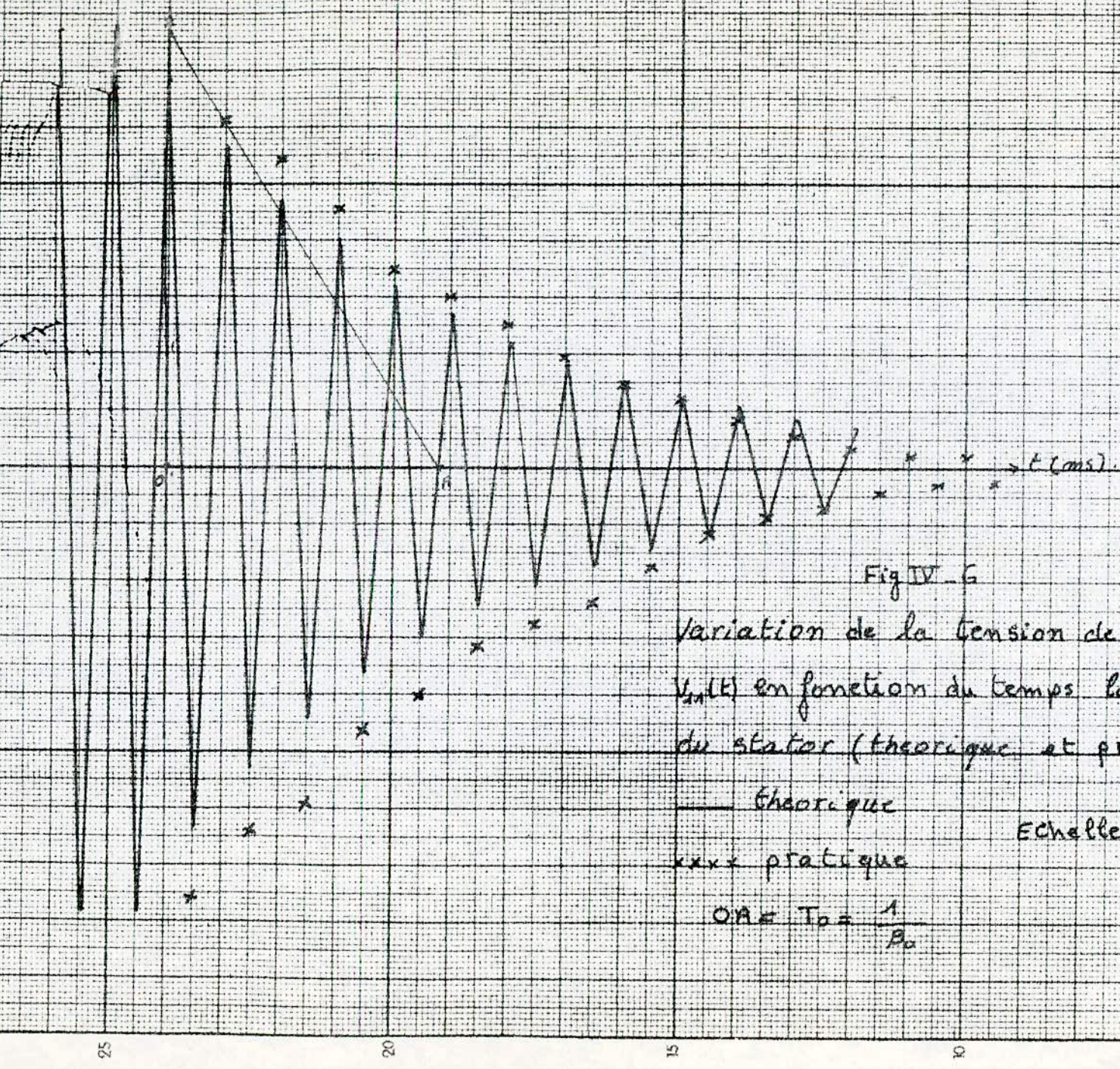


Fig IV - G

variation de la tension de la phase statorique  
 $V_{st}(t)$  en fonction du temps lors de l'ouverture  
du stator (théorique et pratique)

théorique

xxx pratique

$$OR = TA = \frac{1}{R_0}$$

Echelle :  $\begin{cases} 1 \text{ cm} \rightarrow 25 \text{ V} \\ 1 \text{ cm} \rightarrow 20 \text{ ms} \end{cases}$

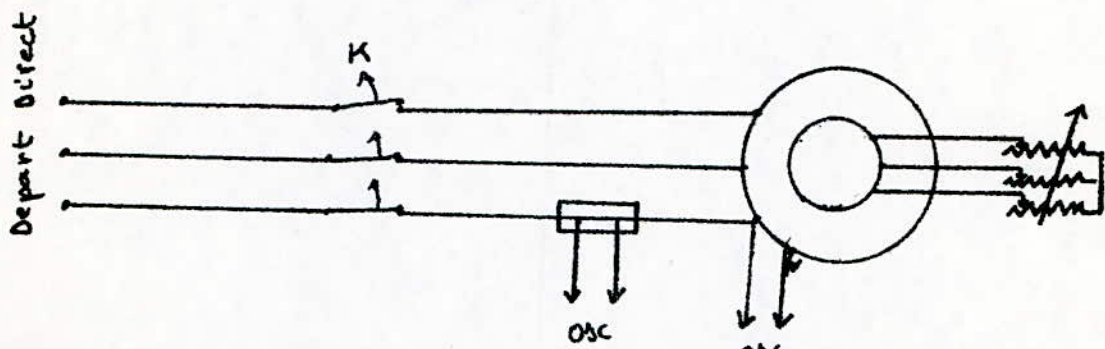


Fig 2 - ouverture du stator

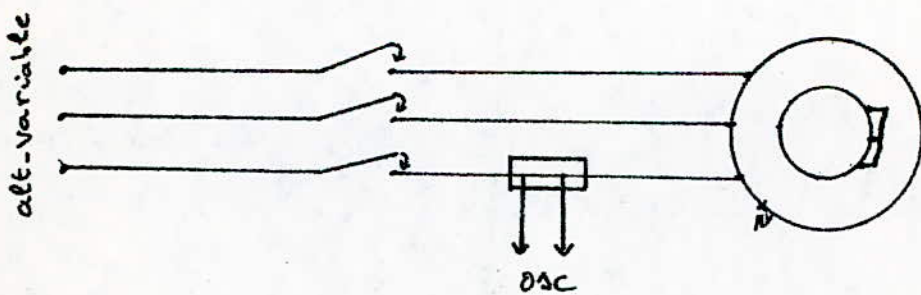


Fig 3 : Démarrage.

## CONCLUSION

En moyennant certaines hypothèses simplificatrices nous avons pu simplifier le modèle mathématique du moteur. Ce qui nous a permis à partir de la transformation de Park d'aboutir à une matrice d'impédance réduite à coefficients constants.

Cette étude nous a permis de déterminer certains paramètres de la machine.

En comparant les divers régimes transitoires étudiés on a constaté une correspondance des formes d'ondes calculées pour les courants et la tension à celles expérimentalement relevées. Ce qui justifie la validité de nos hypothèses. Tant les calculs que les relevés expérimentales montrent que les courants et le couple présentent en début du régime transitoire des pointes importantes par rapport aux formes d'ondes en régime établi.

Nous souhaitons que ce travail puisse être approfondi par d'autres étudiants.

## Bibliographie.

- Régimes transitoires des machines tournantes électriques. par philippe Barret
- Introduction à l'électrotechnique approfondie. par Jacques Lescanne
- François Notelet
- Guy Séguier
- Étude globale des régimes transitoires des courants et du couple du moteur asynchrone triphasé. par:  
    F. Notelet.
- Machines électriques Tome II. par:  
    A. IVANOV - SMOLENSKI
- Machines électriques Tome II - par:  
    M. Kostenko et L. protrouski.
- profet de fin d'études de Mahmoudi-MO et HAMOUDI-A.

